

Physik III Merkzettel

15.08.2021

Streuung

Rutherford-Streuung (Str. am Coloumbpot.)	$\cot\left(\frac{\vartheta}{2}\right) = \frac{2E_{kin}}{E_{pot}(b)} = \frac{4\pi\varepsilon_0}{qQ} \mu v_0^2 b$	$q_\alpha = 2e$	$Z \dots \text{Ordnungszahl}$	$b(\vartheta) \dots \text{Stoßparameter}$	Reduz. Masse	$\mu = \frac{m_\alpha m_{Kern}}{m_\alpha + m_{Kern}}$	
Rutherford-Streuung:	$\frac{dN}{N_0} = \frac{n_v d}{4} \left(\frac{qQ}{8\pi\varepsilon_0 E_{kin}} \right)^2 \frac{1}{\sin^2\left(\frac{\vartheta}{2}\right)} d\Omega$	Raumwinkel:	$d\Omega = \frac{dA}{R^2} = \sin(\vartheta) d\varphi d\vartheta$	Diff. Streuquerschnitt:	$\frac{d\sigma}{d\Omega} = \frac{b}{\sin \vartheta} \frac{db}{d\vartheta}$	Thomson-Streuung $N(\vartheta) = N_0 e^{-\frac{\vartheta^2}{m_{streu} \bar{v}^2}}$	
Anz. Streureignisse	$m_{streu} = \frac{d}{A}$	Mittl. freie Weglänge	$\Lambda = \frac{1}{n_v \sigma}$	Wirkungsquerschn.	$\sigma = \pi b_{max}^2$	Teilchendichte/m³: $n_v = \frac{N}{V} = \frac{m N_A}{M V} = \frac{\rho N_A}{M}$	Teilchendichte pro m²: $n_A = d n_v$

Photonen und Wärmestrahlung

Planksches Wirkungsquantum	$h = 6,626 \cdot 10^{-34} \text{ Js}$	Reduziertes Wirkungsquantum:	$\hbar = \frac{h}{2\pi}$	Energie:	$E_{photon} = hf = \hbar\omega$	Impuls:	$p = \frac{h}{\lambda} = \frac{hf}{c}$	Intensität:	$I = \frac{P}{A}$
Maximale Kraft auf Atom	$F_{max} = p R_{max}$	Streu-rate:	$R_{max} = \frac{1}{2\tau}$	SRT	$\gamma = \frac{1}{\sqrt{1 - \frac{v^2}{c^2}}}; \beta = \frac{v}{c}$	Doppler versch	$f_R = f_0 \sqrt{\frac{1-\beta}{1+\beta}}$	Impuls	$\vec{p} = \gamma m_0 \vec{v}$
Rayleigh-Jeans nur für kleine f:	Moden pro Raumrichtung:	$d = \frac{1}{2} n_x \Rightarrow k_x = n_x \frac{\pi}{d} \Rightarrow \frac{N(f \leq f_G)}{V} = n = \frac{8\pi f_G}{c_0^3} \Rightarrow$	Modendichte:	$\frac{dn}{df} = \frac{8\pi r^2}{c_0^2}$	Energie-dichte:	$w(f) df = \frac{8\pi f^2}{c_0^2} kT df$			
Planksches Strahlungsg.	$w(f) df = \frac{\frac{8\pi h f^3}{c^3}}{e^{h f / k_B T} - 1} df \Rightarrow$	räuml. Energiedichte	$w(T) = \frac{8\pi^5 k^4}{15 c^5 h^3} T^4 \left[\frac{J}{m^3} \right]$	Strahlungsdichte:	$S \stackrel{\text{def}}{=} \frac{d^2 P}{\cos(\vartheta) dA d\Omega} = \frac{I}{4\pi} = \frac{w(T)c}{4\pi} \left[\frac{W}{m^2 \text{ sr}} \right] \Rightarrow$				
In Halbraum emittierte Strahlungsleistung pro Fl.	$\frac{dP}{dA} = \sigma T^4 \left[\frac{W}{m^2} \right]; \sigma = \frac{2\pi^5 k^4}{15 c^2 h^3} = 5,67 \cdot 10^{-8} \frac{W}{m^2 K^4}$	Wienschs Verschiebungsgesetz			$\lambda_{max}(T) = \frac{c_{wien}}{T}; C_{wien} = 2,898 \text{ mm} \cdot \text{K}$				
Doppler-verbreiterung:	$\Delta f_D = \frac{2f_0}{c} \sqrt{\frac{2RT \ln(2)}{M}} = \sqrt{8 \ln(2)} \frac{1}{\lambda_0} \sqrt{\frac{k_B T}{m}}$	Stoßverbreiterung:	$\Delta f_c = \frac{1}{2\pi\tau_c}; \tau_c = \frac{1}{\sigma_s p} \sqrt{\frac{\pi m k_B T}{8}}$	$\sigma_s = 4\pi r^2$	Natürliche Linienbreite:	$\Delta f_c = \frac{1}{2\pi r}$			

Quanten

Bloch-Vektor:	$ \Psi\rangle = \cos\left(\frac{\vartheta}{2}\right) 0\rangle + e^{i\varphi} \sin\left(\frac{\vartheta}{2}\right) 1\rangle$	Wahrscheinlichkeitsdichte:	$ \Psi\rangle ^2 = \langle\Psi^* \Psi\rangle; \int_{-\infty}^{\infty} \Psi\rangle ^2 dx = 1$	Erwartungswert	$\langle x \rangle = \int_a^b x \Psi\rangle ^2 dx$
Wahrscheinlichkeit für $P_{ 0\rangle}$ und $P_{ 1\rangle}$	$P_{ 0\rangle} = \langle 0 \Psi\rangle ^2 = \left \left\langle 0 \left \cos\left(\frac{\vartheta}{2}\right) \right 0 \right\rangle + \left\langle 0 \left e^{i\varphi} \sin\left(\frac{\vartheta}{2}\right) \right 1 \right\rangle \right ^2 = \left \cos\left(\frac{\vartheta}{2}\right) \langle 0 0\rangle + e^{i\varphi} \sin\left(\frac{\vartheta}{2}\right) \langle 0 1\rangle \right ^2 = \boxed{\cos^2\left(\frac{\vartheta}{2}\right)}$				
	$P_{ 1\rangle} = \langle 1 \Psi\rangle ^2 = \left \left\langle 1 \left \cos\left(\frac{\vartheta}{2}\right) \right 0 \right\rangle + \left\langle 1 \left e^{i\varphi} \sin\left(\frac{\vartheta}{2}\right) \right 1 \right\rangle \right ^2 = \left \cos\left(\frac{\vartheta}{2}\right) \langle 1 0\rangle + e^{i\varphi} \sin\left(\frac{\vartheta}{2}\right) \langle 1 1\rangle \right ^2 = \boxed{\sin^2\left(\frac{\vartheta}{2}\right)}$				
Basistransform.	$ \pm 45^\circ\rangle = \frac{1}{\sqrt{2}}(H\rangle \pm V\rangle) = \frac{1}{\sqrt{2}}(0\rangle \pm 1\rangle); \sigma^\pm\rangle = \frac{1}{\sqrt{2}}(H\rangle \pm i V\rangle) = \frac{1}{\sqrt{2}}((1 \pm i) +45^\circ\rangle + (1 \mp i) -45^\circ\rangle)$				
Allgemein:	Geg.: $ \Psi\rangle$; ONB $B = \{\vec{b}_1, \dots, \vec{b}_n\} \Rightarrow [\Psi]$	$_B = \sum_{i=1}^n a^i b_i\rangle$ mit $a^i = \langle \vec{b}_i \Psi \rangle$ (weil: $a^i b_i\rangle = \vec{b}_i\rangle \langle \vec{b}_i \Psi \rangle$)			
Rotationsmatrizen	$R_x(\alpha) = \begin{pmatrix} 1 & 0 & 0 \\ 0 & \cos \alpha & -\sin \alpha \\ 0 & \sin \alpha & \cos \alpha \end{pmatrix}; R_y(\alpha) = \begin{pmatrix} \cos \alpha & 0 & \sin \alpha \\ 0 & 1 & 0 \\ -\sin \alpha & 0 & \cos \alpha \end{pmatrix}; R_z(\alpha) = \begin{pmatrix} \cos \alpha & -\sin \alpha & 0 \\ \sin \alpha & \cos \alpha & 0 \\ 0 & 0 & 1 \end{pmatrix}$				
Verschränkung:	$ \Psi\rangle = \alpha_1 11\rangle + \alpha_2 10\rangle + \alpha_3 01\rangle + \alpha_4 00\rangle = \alpha_1 \begin{pmatrix} 1 & 0 \\ 0 & 0 \end{pmatrix} + \alpha_2 \begin{pmatrix} 0 & 1 \\ 0 & 0 \end{pmatrix} + \alpha_3 \begin{pmatrix} 0 & 0 \\ 1 & 0 \end{pmatrix} + \alpha_4 \begin{pmatrix} 0 & 0 \\ 0 & 1 \end{pmatrix} = \begin{pmatrix} \alpha_1 & \alpha_2 \\ \alpha_3 & \alpha_4 \end{pmatrix}$				
	Wenn $\det\begin{pmatrix} \alpha_1 & \alpha_2 \\ \alpha_3 & \alpha_4 \end{pmatrix} = \alpha_1\alpha_4 - \alpha_2\alpha_3 \neq 0 \Rightarrow$ vollst. bestimmt; <u>verschränkt</u> . Wenn $\alpha_1\alpha_4 - \alpha_2\alpha_3 = 0 \Rightarrow$ <u>nicht</u> verschränkt				

Materiewellen

De-Broglie, klassisch	$\lambda = \frac{h}{p} = \frac{h}{mv} = \frac{h}{\sqrt{mv^2}} = \frac{h}{\sqrt{2m E_{kin}}} = \boxed{\frac{h}{\sqrt{2m^1_m v^2}}} = \frac{h}{\sqrt{2m^1_m v^2}} = \frac{h}{\lambda}$	$p = \hbar k$	relativistisch	$\hbar\omega = E = mc^2 = \gamma m_0 c^2$	$\lambda = \frac{h}{p}; v = c \sqrt{1 - \left(\frac{E_0}{E_0 + E_{kin}} \right)^2}$
	$v_{ph} = \frac{\omega}{k} = \frac{E_k}{\hbar k} = \frac{p^2}{2mk} = \boxed{\frac{\hbar k}{2m}}; v_G = \frac{d\omega}{dk} = \frac{\hbar k}{m} E_K = \frac{p^2}{2m}$	$k = \frac{2\pi}{\lambda}$		$\hbar k = \frac{h}{\lambda} = p = mv = \gamma m_0 v$	$p = \frac{1}{c} \sqrt{2E_0 E_{kin} + E_{kin}^2}$

Schrödinger-Gleichung

Allg. Wellengleichung (1D)	$\frac{\partial^2 \psi}{\partial x^2} = \frac{1}{v^2} \frac{\partial^2 \psi}{\partial t^2}$	Allg. Lsg.	$\Psi = A e^{i(kx - \omega t)}$ <u>2x nach</u> $\Rightarrow \frac{\partial^2 \psi}{\partial x^2} = -k^2 \psi$ <u>x ableit.</u> $ k^2 = \frac{p^2}{\hbar^2} = \frac{2m}{\hbar^2} E_{kin} \Rightarrow \frac{\partial^2 \psi}{\partial x^2} = -\frac{2m}{\hbar^2} E_{kin} \Psi E_{kin} = E - E_{pot} \Rightarrow$		
Stationäre 1D-Schröd.Gleich.:	$-\frac{\hbar^2}{2m} \frac{\partial^2 \psi}{\partial x^2} + E_{pot} \Psi = E \Psi$; $\Psi = A e^{ikx} + B e^{-ikx}$	Stationäre 3D Schrödinger-Gleichung	$-\frac{\hbar^2}{2m} \Delta \Psi + E_{pot} \Psi = E \cdot \Psi$		
Zeitabh. 1D-Schröd.Gleich.:	$\Psi = A e^{i(kx - \omega t)}$ <u>1x nach</u> $\Rightarrow \frac{\partial \psi}{\partial t} = -i\omega \Psi$ <u>t ableit.</u> $ \omega = \frac{E}{\hbar} \Rightarrow \frac{\partial \psi}{\partial t} = -\frac{i}{\hbar} E \Psi \Rightarrow E = i \frac{\Psi}{\psi} in stat. Gleich. \Rightarrow -\frac{\hbar^2}{2m} \frac{\partial^2 \psi}{\partial x^2} + E_{pot} \Psi = i \hbar \frac{\partial \psi}{\partial t}$				
Schrödinger: „gilt auch bei $E_{pot} = E_{pot}(x, t)$ “ \Rightarrow	$-\frac{\hbar^2}{2m} \frac{\partial^2 \psi(x, t)}{\partial x^2} + E_{pot}(x, t) \Psi(x, t) = i\hbar \frac{\partial \psi(x, t)}{\partial t}$	Schrödingergleichung 3D zeitabh.:	$-\frac{\hbar^2}{2m} \Delta \Psi(\vec{r}, t) + E_{pot}(\vec{r}, t) \Psi(\vec{r}, t) = i\hbar \frac{\partial \Psi(\vec{r}, t)}{\partial t}$		
Potentialstufe von $E_{pot}=0$ auf $E_{pot}=E_0$ bei $x=0$	$\Psi_1(x) = A e^{ikx} + B e^{-ikx}; k = \frac{1}{\hbar} \sqrt{2m E}$	Unendlich hohes Kastenpotential 0 bis a	$\Psi_n(x) = A e^{ikx} + B e^{-ikx} A = -B \Rightarrow \Psi_n(x) = A(e^{ikx} - e^{-ikx})$		
Potentialbarriere $E_{pot}=0/E_0/0$ zw. $x=0$ und a	$\Psi_1(x) = A e^{ikx} + B e^{-ikx}; \Psi_2(x) = C e^{i\alpha x}, \alpha = \frac{1}{\hbar} \sqrt{2m(E_0 - E)}$		$\Psi_n(x) = 2A \sinh(0 + ikx) = i \sqrt{\frac{2}{a}} \sin\left(\frac{n\pi}{a} x\right); E_n = \frac{\hbar^2 n^2}{8a^2 m}$		
	$T = \left(\frac{1}{4} \frac{E_0^2}{E_0 - E} \sinh^2(a\alpha) + 1 \right)^{-1} \approx \frac{16(E_0 - E)}{E_0^2} e^{-2a\alpha}$ für $a\alpha \gg 1$; $R = \frac{\left(\frac{a^2}{2} + \frac{k^2}{a^2} \right) \sinh^2(a\alpha)}{4 \cosh^2(a\alpha) + \sinh^2(a\alpha)} \left(\frac{a\alpha}{a^2 - k^2} \right)^2$; $R + T = 1$				

Operatoren, Erwartungswerte und Eigenfunktionen

	Sei A irgendeine mit Quantenunschärfe behaftete quantenphysikalische Messgröße („Observable“), z.B. Ort oder Impuls.		
Erwartungswert	$\langle A \rangle = \frac{1}{n} \sum_{i=1}^n A_i$ (Der Erwartungswert $\langle A \rangle$ ist der zu erwartende Mittelwert bei wiederholter Messung.)		
Operatoren \hat{A}	$\langle A \rangle = \hat{A}\Psi = \int \Psi^* \hat{A} \Psi d\tau = \int \Psi ^2 \hat{A} d\tau$. (\hat{A} ... Operator von A; Ψ ... Wellenfunkt.; Ψ^* ... konjung. komplexe Wellenfunktion)		
Observable	Operator 1-dimensional		Operator 3-dimensional
	$\hat{x} = x$		$\hat{\vec{r}} = \vec{r}$
	$\hat{E}_{pot} = E_{pot}(x) = \hat{V}(x)$		$\hat{E}_{pot} = E_{pot}(\vec{r}) = \hat{V}(\vec{r})$
	$\hat{E}_{kin} = -\frac{\hbar^2}{2m} - \frac{\hbar^2}{2m} \frac{\partial^2}{\partial x^2}$		$\hat{E}_{kin} = -\frac{\hbar^2}{2m} \Delta$
	$\hat{H} = \hat{V} - \frac{\hbar^2}{2m} \frac{\partial^2}{\partial x^2}$ (Hamilton-Operator 1D)		$\hat{H} = \hat{V} - \frac{\hbar^2}{2m} \Delta$ (Hamilton-Operator 3D)
	$p = -i\hbar \frac{\partial}{\partial x}$		$\hat{p} = -i\hbar \vec{\nabla}$
	z-Komponente von \vec{L} : $\hat{L}_z = -i\hbar \frac{\partial}{\partial \varphi}$		$\hat{L} = -i\hbar(\vec{r} \times \vec{\nabla})$
Mittlere quadr. Schwankung	$\langle A^2 \rangle = \frac{1}{n} \sum_{i=1}^n (A_i - \langle A \rangle)^2 = \hat{A}^2 \Psi = \int \Psi^* \hat{A}^2 \Psi d\tau$	Unschärfe:	$\Delta A = \sqrt{\langle A^2 \rangle - \langle A \rangle^2}$
Wahrscheinlichkeitsdichte:	$d P(x, t) = p(x, t) = \Psi(x, t) ^2 = \Psi(x, t) \Psi^*(x, t)$	Wahrscheinlichkeit:	$P(x, t) = \langle \Psi^* \Psi \rangle; \int_a^b \Psi ^2 dx; \int_{-\infty}^{+\infty} \Psi ^2 dx = 1$
Eigenfunktion, Eigenwert	<p>Wenn gilt: $\hat{A}\Psi = A\Psi \Leftrightarrow \int \Psi^* \hat{A} \Psi d\tau = A \int \Psi^* \Psi d\tau$, dann ist \hat{A} eine Eigenfunktion und A ein Eigenwert. Es gilt: $\langle A \rangle = A$; $\langle A^2 \rangle - \langle A \rangle^2 = 0$; d.h. die mittlere quadr. Schwankung von A=0, man misst immer denselben Wert von A. Haben die Größen A und B mit den Operatoren \hat{A} und \hat{B} dieselbe Eigenfunktion Ψ, dann lassen sich die Größen A und B am Teilchen mit der Wellenfunktion Ψ gleichzeitig scharf messen. Die Operatoren sind vertauschbar. Es gilt: $\hat{A}\hat{B}\Psi = \hat{B}\hat{A}\Psi$.</p>		

Atome, Moleküle, Quantenzahlen

Bohrscher Radius:	$F_z = \mu a_z = -\mu r \omega^2 = -\mu r \frac{v^2}{r^2} = -\frac{\mu v^2}{r}; F_c = -\frac{1}{4\pi\epsilon_0} \frac{Ze^2}{r^2}; F_z = F_c \Rightarrow r = \frac{Ze^2}{4\pi\epsilon_0 \mu v^2}; \lambda = \frac{\hbar}{p} = \frac{\hbar}{\mu v} = \frac{1}{n} = \frac{2\pi r}{n} \Rightarrow v = \frac{n\hbar}{2\pi r \mu} \Rightarrow r = \frac{n^2 \hbar^2 \epsilon_0}{\pi \mu Z e^2}$		
Bindungsenergie :	$F_z = F_c \Rightarrow -\frac{\mu v^2}{r} = -\frac{1}{4\pi\epsilon_0} \frac{Ze^2}{r^2} \cdot \frac{-r}{2} \Rightarrow \frac{\mu v^2}{2} = \frac{1}{2} e \frac{Ze}{4\pi\epsilon_0 r} \Rightarrow E_{kin} = \frac{1}{2} e(-\varphi) = -\frac{1}{2} E_{pot}; E_n = E_{kin} + E_{pot} = E_{kin} - 2E_{kin} = -E_{kin} \Rightarrow E_n = -\frac{\mu v^2}{2} = \frac{n^2 \hbar^2}{4\pi^2 r^2 \mu} \mid r = \frac{n^2 \hbar^2 \epsilon_0}{\pi \mu Z e^2} \Rightarrow E_n = -\frac{\mu e^4 Z^2}{8\epsilon_0^2 \hbar^2 n^2} = -R_y h c \frac{Z^2}{n^2} = -R_y^* \frac{Z^2}{n^2}$		
Hauptquantenzahl (Schale)	$n = 1, 2, 3, \dots$ $n = K, L, M, N, \dots$	Nebenquantenzahl (Drehimpulsquantenz.)	$l = 0, 1, 2, \dots, n-1$ $l = s, p, d, f, g, \dots$
Magnetische QZ des Drehimpulses	$m_l = \frac{l_z}{\hbar} = \{-l, -l+1, \dots, l-1, l\}$	Orientierung Elektronen-Bahndrehimpuls: Größe z-Komponente in Einheiten \hbar . Zusätzl. E_{pot} , die bei Anlegen eines Magnetfeldes in z-Richtung auftritt (Zeeman-Effekt)	Bahndrehimpuls $\langle \vec{L} \rangle = \hbar \sqrt{l(l+1)}$
Magnetische Spin-Quantenzahl	$m_s = \pm \frac{s_z}{\hbar} = \pm \frac{1}{2}$ mit $s_z = \frac{1}{2} \hbar$	Orientierung des Elektronen-Spins zur z-Achse.	Elektronen Gesamtdrehimpulsquantenzahl des Atoms $J = \sum l + \sum s$ Feinstruktur (elektronenspin)
Molekülschwingung	$E_{vib} = \left(n' + \frac{1}{2}\right) \hbar \omega; f_{vib} = \left(n' + \frac{1}{2}\right) c \omega_e; \omega_e = \frac{1}{\lambda} \dots$ Wellenzahl $\left[\frac{1}{m}\right]$; n ... Schwingungsquantenzahl. $\Delta n = \pm 1$		
Molekülrotation:	$E_{rot} = \frac{l \omega^2}{2} = \frac{l^2}{2I} = \frac{\hbar^2 l(l+1)}{2I}; \omega = \sqrt{l(l+1)} \frac{\hbar}{I}$	Konfigurationsnotation	nL mit $L = \sum l$ $^{2s+1}L_J$ (2s+1...Multiplizität = Zahl der Feinstrukturkomponenten für L≠0)
Gesamtdrehimpulsquantenzahl	$F = \{ I-J , I-J +1, \dots, I+J -1, I+J \}$ ⇒ Hyperfeinstruktur (I ... Kernspin)	Periodensystem und Aufbau-prinzip ¹⁾	
Gesamtdrehimpuls	... der Elektronen $\langle \vec{j} \rangle = \hbar$... des Atom ges.: $\langle \vec{F} \rangle = \hbar \sqrt{F(F+1)}$		
Entartung (Zeemanzustände)	$m_F = \{-F, -F+1, \dots, F-1, F\}$		

Diverses

$\cos(z)$	$\cos(z) = \cos(x + iy) = \operatorname{Re}(e^{iz}) = \frac{e^{iz} + e^{-iz}}{2} = \cos(x) \cosh(y) - i \sin(x) \sinh(y) = \cosh(i z)$	$\cos(\bar{z}) = \cos(\bar{z})$
$\sin(z)$	$\sin(z) = \sin(x + iy) = \operatorname{Im}(e^{iz}) = \frac{e^{iz} - e^{-iz}}{2i} = \sin(x) \cosh(y) + i \cos(x) \sinh(y) = -i \sinh(i z)$	$\sin(\bar{z}) = \sin(\bar{z})$
$\cosh(z)$	$\cosh(z) = \cosh(x + iy) = \frac{e^z + e^{-z}}{2} = \cosh(x) \cos(y) + i \sinh(x) \sin(y)$	
$\sinh(z)$	$\sinh(z) = \sinh(x + iy) = \frac{e^z - e^{-z}}{2} = \sinh(x) \cos(y) + i \cosh(x) \sin(y)$	
Plank-Masse:	$m_p = \sqrt{\frac{\hbar c}{g}}$	Planck-Länge: $l_p = \sqrt{\frac{\hbar c}{e^3}}$ Zeit: $t_p = \frac{l_p}{c}$ Planck-Ladung: $q_p = \sqrt{\hbar c 4\pi \epsilon_0}$ Planck-Temperatur: $T_p = \frac{m_p c^2}{k}$

¹⁾ Grafiken von https://commons.wikimedia.org/wiki/File:Klechkovski_rule.svg und https://de.wikipedia.org/wiki/Elektronenkonfiguration#/media/File:Periodic_Table_2.svg unter Creative Commons Attribution-Share Alike 3.0 Unported license.

Physik II

15.08.2021

Maxwellgleichungen

(A) Statische Felder, in Vakuum und isotroper Materie (Vakuum: $\mu_r = 1, \epsilon_r = 1$)

Bez.	Differentiell	Bemerkungen	Integral	Bemerkungen
1) Gauß E	$\vec{\nabla} \cdot \vec{E} = \frac{\rho}{\epsilon_r \epsilon_0}$	Die Raumladungen sind Quellen oder Senken des E-Feldes	$\oint_A \vec{E} d\vec{A} = \frac{q_{ein}}{\epsilon_r \epsilon_0}$	Gesamtfluss durch geschlossene Fläche ist proportional zur eingeschlossenen Ladung
	$\vec{\nabla} \cdot \vec{D} = \rho_{frei}$	Dielektr. Verschiebung $\vec{D} = \epsilon_r \epsilon_0 \vec{E}$	$\oint_A \vec{D} d\vec{A} = q_{ein}$	
2) Gauß M	$\vec{\nabla} \cdot \vec{B} = 0$	Magn. Feldlinien geschlossen, es gibt keine magn. Monopole	$\oint_A \vec{B} d\vec{A} = 0$	Der magnetische Fluss durch eine geschlossene Oberfläche ist Null.
3) Stokes	$\vec{\nabla} \times \vec{E} = 0$	Statisches E-Feld ist wirbelfrei	$\oint_C \vec{E} d\vec{s} = 0$	Statische E-Feld ist konservatives Kraftfeld
4) Amp. G.	$\vec{\nabla} \times \vec{B} = \mu_r \mu_0 \vec{j}$	$\text{rot}(\vec{B}) = \text{lokale Stromdichte}$	$\oint_C \vec{B} d\vec{s} = \mu_r \mu_0 I$	Geschlossenes Kurvenintegral von B ist proportional zum eingeschlossenen Strom
	$\vec{\nabla} \times \vec{H} = \vec{j}$	Magn. Feldstärke $\vec{H} = \frac{\vec{B}}{\mu_r \mu_0}$	$\oint_C \vec{H} d\vec{s} = I$	

(B) Dynamische Felder, in Vakuum und isotroper Materie (Vakuum: $\mu_r = 1, \epsilon_r = 1$)

Bez.	Differentiell	Bemerkungen	Integral	Bemerkungen
1) Gauß	$\vec{\nabla} \cdot \vec{E} = \frac{\rho}{\epsilon_r \epsilon_0}$	wie (A), gilt immer	$\oint_A \vec{E} d\vec{A} = \frac{q_{ein}}{\epsilon_r \epsilon_0}$	wie (A), gilt immer
	$\vec{\nabla} \cdot \vec{D} = \rho_{frei}$	wie (A), gilt immer	$\oint_A \vec{D} d\vec{A} = q_{ein}$	wie (A), gilt immer
2)	$\vec{\nabla} \cdot \vec{B} = 0$	wie (A), gilt immer	$\oint_A \vec{B} d\vec{A} = 0$	wie (A), gilt immer
3) Faraday	$\vec{\nabla} \times \vec{E} = -\frac{\partial \vec{B}}{\partial t}$	E-Feld hat bei veränderlichem B-Feld Wirbel	$\oint_C \vec{E} d\vec{s} = -\frac{\partial \Phi_B}{\partial t} = -\frac{\partial}{\partial t} \int \vec{B} d\vec{A}$	„Induktionsgesetz“
4) Amp. G.	$\vec{\nabla} \times \vec{B} = \mu_r \mu_0 \vec{j} + \mu_r \mu_0 \epsilon_r \epsilon_0 \frac{\partial \vec{E}}{\partial t}$	$\text{rot}(\vec{B}) = \text{lokale Stromdichte}$	$\oint_C \vec{B} d\vec{s} = \mu_r \mu_0 I + \mu_r \mu_0 \epsilon_r \epsilon_0 \frac{\partial \Phi_E}{\partial t} = \mu_r \mu_0 I + \mu_r \mu_0 \epsilon_r \epsilon_0 \frac{\partial}{\partial t} \int \vec{E} d\vec{A}$	
	$\vec{\nabla} \times \vec{H} = \vec{j} + \frac{\partial \vec{D}}{\partial t}$		$\oint_C \vec{H} d\vec{s} = I + \frac{\partial \Phi_D}{\partial t} = I + \frac{\partial}{\partial t} \int \vec{D} d\vec{A}$	
Elektr. Pot.	$\varphi(\vec{r}) = - \int_{\infty}^{\vec{r}} \vec{E}(\vec{r}') d\vec{r}'$	Eichfreiheit: $\varphi(\vec{r}) \rightarrow \varphi'(\vec{r}) = \varphi(\vec{r}) - \frac{\partial \chi}{\partial t}$		Mag. Pot.: $\vec{\nabla} \times \vec{A} = \vec{B}$ Eichfreiheit: $\vec{A} \rightarrow \vec{A}' = \vec{A} + \vec{\nabla} \chi$
Felder \leftrightarrow Potential:	$\vec{B} = \vec{\nabla} \times \vec{A}$	$\vec{E} = -\vec{\nabla} \varphi - \frac{\partial \vec{A}}{\partial t}$	Polarisation: $\vec{P} = \vec{D} - \epsilon_0 \vec{E} \Rightarrow \vec{D} = \epsilon_0 \vec{E} + \vec{P}$	Magnetisierung: $\vec{B} = \mu_0 (\vec{H} + \vec{M}) \Rightarrow \vec{H} = \frac{1}{\mu_0} \vec{B} - \vec{M}$

Statisches elektrisches Feld (wirbelfreies Quellenfeld)

Coulomb Gesetz:	$\vec{F} = \frac{1}{4\pi \epsilon_0} \frac{q_1 q_2}{r^2} \vec{e}_r = q \vec{E}; [q] = C = As$	Feldstärke: $\vec{E}(\vec{r}) = \frac{\vec{F}(\vec{r})}{q_0}; [E] = \frac{V}{m} = \frac{N}{C} = \frac{As}{A s^3}$	Punktladung: $\vec{E} = \frac{1}{4\pi \epsilon_0} \frac{Q}{r^2} \vec{e}_r$
Kont. Raumladg	$\vec{E}(\vec{r}) = \frac{1}{4\pi \epsilon_0} \int_Q \frac{1}{ \vec{r}-\vec{R} ^2} \vec{e}_{rR} dQ = \frac{1}{4\pi \epsilon_0} \int_V \frac{\vec{r}-\vec{R}}{ \vec{r}-\vec{R} ^3} \rho(\vec{R}) dV; \rho(\vec{R}) = \frac{dQ}{dV}$	Vollkugel: $\vec{E}(r) = \frac{Q}{4\pi \epsilon_0 r^2} \vec{e}_r$	Hohlkugel: $\vec{E}_{au\ddot{e}n}(r) = \frac{R^2 \sigma}{\epsilon_0} \frac{1}{r^2} \vec{e}_r$
Gauß = Maxwell 1	$\text{Fluss } \phi = \frac{q_{ein}}{\epsilon_0} = \oint_A \vec{E} d\vec{A} \stackrel{\text{Gauß}}{\cong} \int_V \vec{\nabla} \cdot \vec{E} dV \mid q_{ein} = \oint_V \rho dV \Rightarrow \frac{1}{\epsilon_0} \int_V \rho dV = \int_V \vec{\nabla} \cdot \vec{E} dV \Rightarrow \vec{\nabla} \cdot \vec{E} = \frac{\rho}{\epsilon_0}$		
Poisson	$\frac{\rho(\vec{r})}{\epsilon_0} = \vec{\nabla} \cdot \vec{E}(\vec{r}) = \vec{\nabla} \cdot (-\nabla \varphi(\vec{r})) = -\Delta \varphi(\vec{r}) = \frac{\rho(\vec{r})}{\epsilon_0}$		
Stokes = Maxwell 3	$\oint \vec{E}(\vec{s}) d\vec{s} = \vec{0} \stackrel{\text{Stokes}}{\cong} \oint_A \vec{\nabla} \times \vec{E} d\vec{A} \Rightarrow \vec{\nabla} \times \vec{E} = \vec{0} \Rightarrow \text{statisches E-Feld ist wirbelfrei}$		
Potential, Spannung	$\varphi(\vec{r}) = - \int_{\infty}^{\vec{r}} \vec{E}(\vec{r}') d\vec{r}' = \frac{W_{pot}}{q}; U_{ab} = \varphi(\vec{a}) - \varphi(\vec{b}) = - \int_b^a \vec{E}(\vec{r}) d\vec{r}; [V], \left[\frac{kg m^2}{A s^3} \right]$	Pktldg: $\left \frac{Pkt}{ldg} \right \varphi = \frac{Q}{4\pi \epsilon_0 r} \vec{E} = -\vec{\nabla} \varphi(\vec{s}) \text{ weil } \oint \vec{E}(\vec{s}) d\vec{s} = \vec{0}$	
Vollkugel:	$\varphi_{innen}(r) = \frac{Q}{4\pi \epsilon_0 R} \left(\frac{3}{2} - \frac{r^2}{2R^2} \right); \varphi_{au\ddot{e}n}(r) = \frac{Q}{4\pi \epsilon_0 r}$	Hohlkugel: $\varphi_{innen} = const; \varphi_{au\ddot{e}n}(r) = \frac{R^2 \sigma}{\epsilon_0} \frac{1}{r}; \varphi_{Oberfl} = const. \Rightarrow \sigma = \epsilon_0 \frac{\varphi}{r}$	
Arbeit, Energie:	$W = - \int_{S_1}^{S_2} \vec{F}(\vec{s}) d\vec{s} = -q \int_{S_1}^{S_2} \vec{E}(\vec{s}) d\vec{s} = -q \cdot (\varphi(\vec{r}_2) - \varphi(\vec{r}_1)) = -q U_{21}; W_{pot} = \frac{\epsilon_0}{2} \int_V E^2 dV$		$\Delta W_{pot} = -q U_{21}$ $\Delta W_{kin} = -\Delta W_{pot} = qU$

Elektrischer Dipol

Dipolmoment:	$\vec{p} = q \vec{d} [\text{Cm}]$	Energie:	$W_{pot} = -\vec{p} \cdot \vec{E}$	Potential:	$\phi(\vec{r}) = \frac{Q}{4\pi \epsilon_0} \frac{\vec{d} \cdot \vec{r}}{r^3} = \frac{1}{4\pi \epsilon_0} \frac{\vec{p} \cdot \vec{r}}{r^3} = \frac{p \cos \theta}{4\pi \epsilon_0 r^2}$	Drehmoment im homogenen Feld	$\vec{M} = \vec{p} \times \vec{E}$
Dipol im inhomogenen Feld:	$\vec{F} = \vec{p} \cdot \vec{\nabla}(\vec{E}) \Rightarrow F_x = p_x \frac{\partial E_x}{\partial x} + p_y \frac{\partial E_x}{\partial y} + p_z \frac{\partial E_x}{\partial z}$						

Strom

Strom:	$I = \frac{dq}{dt} = \int j d\vec{A} = \int q n \vec{v} d\vec{A} = \lambda \vec{v} (\lambda \dots \text{Linienstromdichte})$	Kreisstrom	$I = Qf$	Stromdichte:	$j = q n \vec{v} = \rho \vec{v} = \sigma \vec{E} \left[\frac{A}{m^2} \right]$
Leitfähigkeit:	$\sigma_{el} = \frac{q^2 n t_s}{m}$	Spez. Widerstand:	$\rho_{el} = \frac{1}{\sigma_{el}}$	Widerstand:	$R = \rho \frac{l}{A} [\Omega]$

Kondensatoren

Kapazität	$C = \frac{Q}{U} [F]$	Parallel-Schaltung	$C_{ges} = C_1 + C_2$	Serie:	$\frac{1}{C_{ges}} = \frac{1}{C_1} + \frac{1}{C_2}$; $Q_{ges} = Q_1 = Q_2$	Energie-dichte:	$w_{el} = \frac{1}{2} \epsilon_0 E^2$	Energie:	$W = \frac{Q^2}{2C} = \frac{1}{2} C U^2$
Platten-kondens.	$E = \frac{\sigma}{\epsilon_0} = \frac{Q}{\epsilon_0 A}$	$U = Ed = \frac{Q}{\epsilon_0 A} d$	$C = \epsilon_0 \frac{A}{d}$	Kugel-kond.	$C = 4\pi\epsilon_0 \frac{r_a r_i}{r_a - r_i}$	Zylinder-kondens.	$C = 2\pi\epsilon_0 \frac{L}{\ln b/a}$	Kugel:	$C = 4\pi\epsilon_0 r$
Dielek-trikum:	$E = \frac{E_o}{\epsilon_r}$	Dielektrische Verschiebung:	$D = \epsilon_r \epsilon_0 E_{diel} = \text{stetig}$	Brechung:	$\tan \alpha_2 = \frac{\epsilon_r 2}{\epsilon_r 1}$	Strom, Spannung	$I_c = C \frac{dU}{dt}; U_c = \frac{1}{C} \int I dt$		

Statisches Magnetfeld (quellenfreies Wirbelfeld)

Kraft zweier Magnetpole	$\vec{F} = \frac{1}{4\pi\mu_0} \frac{p_1 p_2}{r^2} \vec{e}_r$	„Magnetische Feldstärke“	$\vec{H}(\vec{r}) = \lim_{p_2 \rightarrow 0} \frac{\vec{F}(\vec{r})}{p_2} \left[\frac{A}{m} \right]$	Mag. Flussdichte (magn. Induktion):	$\vec{B} = \mu_r \mu_0 \vec{H} [T]$	Zusammenh. $\epsilon_0, \mu_0, c :$	$\epsilon_0 \mu_0 = \frac{1}{c_0^2}$
Mg. Fluss Maxw. 2	$\phi[Wb] = \oint_A \vec{B} d\vec{A} = 0$	Gauß	$\oint_V \vec{V} \cdot \vec{B} dV; \vec{\nabla} \cdot \vec{B} = 0 \Rightarrow$	Feldl. geschl.	Magnetische Permeabilität:	$\mu_0 = 4\pi \cdot 10^{-7} \frac{Vs}{Am}$	Feldstärke in Materie
Amp. Gesetz: Statisch, Vakuum (Maxwell 4)	$\mu_0 I = \oint_C \vec{B} ds$	Stokes	$\int_A (\vec{\nabla} \times \vec{B}) d\vec{A} = \mu_0 \int_A \vec{j} d\vec{A} \Rightarrow \vec{\nabla} \times \vec{B} = \mu_0 \vec{j} \Rightarrow$	Rot. B = lokale Stromdichte	$\oint \vec{H} d\vec{s} = NI$ (gilt auch in Materie)		
Vektor Potential	$\vec{B}(\vec{r}) = \vec{V} \times \vec{A}(\vec{r})$	Coulomb-Eichung:	$\vec{V} \cdot \vec{A}_m(\vec{r}) = 0$	Poisson:	$\vec{\nabla} \times \vec{B} = \mu_0 \vec{j} \mid \vec{B} = \vec{V} \times \vec{A} \Rightarrow \vec{V} \times (\vec{V} \times \vec{A}_m) = \mu_0 \vec{j} \Rightarrow$ $\vec{V}(\vec{V} \cdot \vec{A}_m) - \vec{\Delta} \vec{A}_m = \mu_0 \vec{j} \mid \vec{V} \cdot \vec{A}_m = 0 \Rightarrow \vec{\Delta} \vec{A}_m = -\mu_0 \vec{j}$		
Vektor Potential	$\vec{A}_m(\vec{r}_1) = \frac{\mu_0}{4\pi} \int_V \frac{\vec{j}(\vec{r}_2)}{r_{12}} dV_2$		$\vec{B}(\vec{r}_1) = \vec{V} \times \vec{A}_m(\vec{r}_1) = \frac{\mu_0}{4\pi} \int_V \frac{\vec{j}(\vec{r}_2) \times \vec{e}_{12}}{r_{12}} dV_2; \vec{j} dV = \vec{j} \vec{A} d\vec{s} = Id\vec{s} \Rightarrow$	Biot-Savart	$\vec{B} = -\frac{\mu_0}{4\pi} I \int_{\text{Leiter}} \frac{\vec{e}_{12} \times d\vec{s}_2}{r_{12}^2}$		
Lorentz kraft:	$\vec{F} = q(\vec{v} \times \vec{B})$	Induktion	$\phi = LI = \oint_A \vec{B} d\vec{A}$		Magn. Feld einer bewegten Punktladung:	$\vec{B} = \frac{\mu_0}{4\pi} q \frac{\vec{v} \times \vec{r}}{r^3} = \frac{\vec{v}}{c^2} \times \vec{E}$	

Elektromagnetische Induktion (dynamisches E- und B-Feld)

Faradaysches Gesetz:	$U_{ind} = -N \frac{d\phi_{mag}}{dt}$	Drehende Leiterschleife	$U_{ind} = -\frac{d\phi}{dt} = -\frac{d}{dt} \int \vec{B} \cdot d\vec{A} = -\frac{d}{dt} (BA \cos(\varphi)) = -\frac{d}{dt} BA \cos(\omega t) = BA \omega \sin(\omega t)$				
Maxwell 3	$U_{ind} = -\frac{d\phi}{dt}$	$\oint \vec{E} d\vec{s} \stackrel{\text{Stokes}}{=} \int \vec{\nabla} \times \vec{E} \cdot d\vec{A} \Rightarrow \int \vec{\nabla} \times \vec{E} \cdot d\vec{A} = -\frac{d}{dt} \int \vec{B} \cdot d\vec{A} \Rightarrow \vec{\nabla} \times \vec{E} = -\frac{\partial \vec{B}}{\partial t}$	E-Feld hat in Anw. eines veränderlichen B-Feldes Wirlen				
Selbstindukt.	$U_{ind} = -N \frac{d\phi}{dt} \mid \phi = LI \Rightarrow U_{ind} = -L \frac{dI}{dt}$						
Verschiebungsstrom	$E = \frac{\sigma}{\epsilon_0} = \frac{Q}{\epsilon_0 A} \Rightarrow Q = \epsilon_0 AE \Rightarrow \text{Einsetzen in } I_v = \frac{dQ}{dt} \Rightarrow I = \frac{d}{dt} (\epsilon_0 AE) = \epsilon_0 A \frac{\partial E}{\partial t} \Rightarrow j_v = \epsilon_0 \frac{\partial E}{\partial t}$						
Maxwell 4	$\mu_0 I + \mu_0 I_v = \mu_0 I + \mu_0 \epsilon_0 \vec{A} \frac{\partial \vec{E}}{\partial t} = \oint_C \vec{B} d\vec{A}$	Gesamtstrom = Leitungsstrom und Verschiebungstrom wegen $(\partial E / \partial t)$	$\Rightarrow \vec{\nabla} \times \vec{B} = \mu_0 \vec{j} + \frac{1}{c_0^2} \frac{\partial \vec{E}}{\partial t}$	B-Felder auch aufgrund von $(\partial E / \partial t)$			

Leiterschleifen und Induktivitäten

Feld unendl. Spule:	$\mu_0 NI = \oint_C \vec{B} ds \approx Bl \Rightarrow B = \frac{\mu_0 NI}{l}$	Induktivität (unendl. Spule)	$N\Phi = LI \Rightarrow NBA = LI \Rightarrow L = \frac{NBA}{I} = \frac{NBA}{l} \Rightarrow L = \mu_r \mu_0 N^2 \frac{A}{l} [H] = [\Omega s]$				
Feld einer Leiterschleife	$B_x = \frac{\mu_0 I R^2}{2(R^2 + d^2)^{3/2}}$	Helmholtz Spulenpaar	$B = \frac{\mu_0 8IN}{\sqrt{125R}} \text{ (exakt):}$	$B(x) = \frac{\mu_0 I N}{2} \left(\frac{x + l}{\sqrt{(x + l)^2 + R^2}} - \frac{x - l}{\sqrt{(x - l)^2 + R^2}} \right)$			
Parallel:	$\frac{1}{L_{ges}} = \sum \frac{1}{L_n} = \frac{L_1 L_2}{L_1 + L_2}$	Serie: $L_{ges} = \sum L_n$	Energiedichte	$w_{mag} = \frac{B^2}{2\mu_0}$	Energie:	$W = \int_V w dV$	
Strom, Spannung	$I_L = \frac{1}{L} \int U dt; U_L = L \frac{dI}{dt}$	Magnetisches Dipolmoment	$\vec{p}_m = IA \vec{A} [Am^2]; \vec{B} = \frac{\mu_0 \vec{p}_m}{2\pi r^3}$		$W_{pot} = -\vec{p}_m \cdot \vec{B}_{\text{außen}}$		

Hertz'scher Dipol

Fernfeld:	$ E = \frac{1}{4\pi\epsilon_0 c^2} \frac{p_0 \omega^2}{r} \sin(\vartheta) \sin(\omega t - kr); B = \frac{1}{4\pi\epsilon_0 c^3} \frac{p_0 \omega^2}{r} \sin(\omega t - kr)$	Energie-dichte	$w_{EM} = w_{el} + w_{mag} = \epsilon_0 \vec{E}^2$				
Abgestrahlte Leistung	$P = \oint \vec{S} \cdot d\vec{A} = \frac{p_0^2 \omega^4}{6\pi\epsilon_0 c^2} \sin^2(\omega t - kr) \Rightarrow \bar{P} = \frac{p_0^2 \omega^4}{12\pi\epsilon_0 c^2}$	Induz. Spannung in Empfangsantenne	$U = El$	Energiestrom-dichte; Intensität	$S = I = wc$		
Poynting vektor	$\vec{S} = \vec{E} \times \vec{H} = \frac{1}{\mu_0} \vec{E} \times \vec{B}$	E-Feld an Oberfl. eines gleichstromdurchfl. Drahtes	$\vec{E} = \frac{RI}{l} = \frac{\rho I}{r^2 \pi}$	B-Feld an Oberfl. eines gleichstromdurchfl. Drahtes	$\oint B ds = \mu_0 I \Rightarrow \vec{B} = \frac{\mu_0 I}{2\pi r} \vec{e}_t$		

Hohlraumresonatoren

Randbed. Tangent. komp = 0	$E_x = 0 \text{ für } x = 0, c \text{ und } x = 0, b$	Randbed. stehende Wellen:	$k_x = \frac{n\pi}{a}, k_y = \frac{m\pi}{b}, k_z = \frac{q\pi}{c}$	$ \vec{k} = \sqrt{k_x^2 + k_y^2 + k_z^2}$	$\vec{E} = \begin{pmatrix} A \cos\left(\frac{n\pi}{a}x\right) \sin\left(\frac{m\pi}{b}y\right) \sin\left(\frac{q\pi}{c}z\right) \\ A \sin\left(\frac{n\pi}{a}x\right) \cos\left(\frac{m\pi}{b}y\right) \sin\left(\frac{q\pi}{c}z\right) \\ A \sin\left(\frac{n\pi}{a}x\right) \sin\left(\frac{m\pi}{b}y\right) \cos\left(\frac{q\pi}{c}z\right) \end{pmatrix}$		
Grefreq Würfel	$ \vec{k} = \frac{\pi}{a} \sqrt{n^2 + m^2 + q^2} = \frac{\omega}{c_0}$	Volumen Kugelkant mit Radius $ \vec{k} $: $V_k = \frac{4\pi}{3} k_G^3 = \frac{\pi}{6} \left(\frac{\omega}{c_0}\right)^3$	Anzahl Gitterpunkte mit EH-Vol $(a/\pi)^3$: $N_G = \frac{\pi}{6} \left(\frac{\omega}{c_0}\right)^3 \frac{a^3}{\pi^3}$	Zwei Polarisationsrichtungen: Moden pro Vol.: $\frac{N}{V} = n = \frac{8\pi^2}{3c_0^3}$			

Rechteckiger Hohlleiter

Querschnitt $\Delta x \cdot \Delta y = a \cdot b$ ($a > b$); Ausbreitung in z-Richtung	$\vec{E}(x, y, z, t) = \vec{E}_0(x, y) \cos(\omega t - k_z z)$; $\vec{E}_0 = \begin{pmatrix} A \cos(k_x x) \sin(k_y y) \\ B \sin(k_x x) \cos(k_y y) \\ 0 \end{pmatrix}$; $k_x = \frac{n\pi}{a}$; $k_y = \frac{m\pi}{b}$; n, m ablesen aus TE_{nm}
TE _{nm} -Mode: E steht senkrecht auf z-Richtung	TM _{nm} -Mode: B steht senkrecht auf z-Richtung
$k_z = \sqrt{k^2 - k_x^2 - k_y^2}$, $k = \frac{2\pi}{\lambda} = \frac{\omega}{c}$; Grenzfreq. wenn $k_z = 0 \Rightarrow \omega_g = c\pi \sqrt{\frac{n^2}{a^2} + \frac{m^2}{b^2}}$; $ TE_{10} = \frac{c\pi}{a}$	Phasengeschw. $v_{ph} = \frac{\omega}{k_z}$; Gruppengeschw.: $v_{gr} = \frac{c^2}{v_{ph}}$
Schwächungslänge δ : Wenn $\omega < \omega_g$, dann ist k_z komplex: $k_z = i\sqrt{k_x^2 + k_y^2 - k^2}$; bzw. $ k_z = \frac{1}{\delta} = \sqrt{k_x^2 + k_y^2 - k^2}$; nach δ Amplitude auf $\frac{1}{e}$	

Elektromagnetische Wellen im Vakuum

Wellengleich. Für E-Feld in Vakuum ($j=0, \rho=0$)	Maxwell 3: $\vec{\nabla} \times \vec{E} = -\frac{\partial \vec{B}}{\partial t}$ $\vec{\nabla} \times \vec{E} \Rightarrow \vec{\nabla} \times \vec{\nabla} \times \vec{E} = -\vec{\nabla} \times \frac{\partial \vec{B}}{\partial t} = -\frac{\partial}{\partial t} \vec{\nabla} \times \vec{B}$ $(\vec{\nabla} \times \vec{B} = \frac{1}{c_0^2} \frac{\partial \vec{E}}{\partial t})$ (Maxwell 4) \Rightarrow	In Materie: $\Delta \vec{E} = \mu_r \mu_0 \epsilon_r \epsilon_0 \frac{\partial^2 \vec{E}}{\partial t^2}$
Wellengleich. Für B-Feld in Vakuum ($j=0, \rho=0$)	$\vec{\nabla} \times \vec{B} = \frac{\mu_0}{c_0^2} \vec{J} + \mu_0 \frac{\partial \vec{E}}{\partial t}$ $\vec{\nabla} \times \vec{B} \Rightarrow \vec{\nabla} \times \vec{\nabla} \times \vec{B} = \vec{\nabla} \times \frac{\partial \vec{E}}{\partial t} = \frac{\partial}{\partial t} \vec{\nabla} \times \vec{E}$ $(\vec{\nabla} \times \vec{E} = -\frac{\partial \vec{B}}{\partial t})$ (Maxwell 3) \Rightarrow	$\Delta \vec{B} = \frac{1}{c_0^2} \frac{\partial^2 \vec{B}}{\partial t^2}$
$\vec{B} \leftrightarrow \vec{E}$:	$\vec{B} = \frac{1}{\omega} (\vec{k} \times \vec{E}) \Rightarrow \vec{B} = \frac{k}{\omega} \vec{E} = \frac{1}{c} \vec{E} $ Energie Dichte: $w_{EM} = \frac{\epsilon_0 (E^2 + c^2 B^2)}{2} = \epsilon_0 E^2$	Poynting-Vektor: $\vec{S} = \vec{E} \times \vec{H} = \frac{1}{\mu_0} \vec{E} \times \vec{B} = \epsilon_0 c^2 \vec{E} \times \vec{B}$
EM-Welle ist transversal:	Ann: Ebene Welle in z-Richtung: $\vec{E} = \vec{E}(z) \Rightarrow \frac{\partial \vec{E}}{\partial x} = \frac{\partial \vec{E}}{\partial y} = 0 \dots (1)$ Maxwell 1 mit $p=0$: $\vec{\nabla} \cdot \vec{E} = 0 \Rightarrow \frac{\partial E_x}{\partial x} + \frac{\partial E_y}{\partial y} + \frac{\partial E_z}{\partial z} = 0 \stackrel{(1)}{\Rightarrow} \frac{\partial E_z}{\partial z} = 0 \Rightarrow E_z = \text{const.}, \text{ wähle } E_z = 0 \Rightarrow \vec{E} = (E_x, E_y, 0)^T \dots \text{Transversalwelle: } \vec{E} \perp \vec{e}_z$	
Linear polarisiert	$\vec{E} = \begin{pmatrix} E_{0x} \\ E_{0y} \end{pmatrix} \cos(\omega t - kz)$ Zirkular polarisiert: $\vec{E} = \begin{pmatrix} E_0 \cos(\omega t - kz) \\ E_0 \sin(\omega t - kz) \end{pmatrix} = \frac{E_0}{2} \begin{pmatrix} 1 \\ i \end{pmatrix} e^{i(\omega t - kz)}$	$\vec{B} = \frac{1}{\omega} (\vec{k} \times \vec{E}); B_0 = \frac{1}{c} E_0$
Amplitude nach Polarisationsfilter	$E_1 = E_0 \cos(\alpha)$... Drehung des Filters zur Polarisierung von E_0	Intensität: $I = \frac{W/t}{A} = \frac{P}{A} = \frac{W}{V} v = w_{EM} c = \epsilon_0 c \overline{\vec{E}^2(t)} = \epsilon_0 c \frac{1}{T} \int_0^T \vec{E}^2(t) dt = \epsilon_0 c \left(\frac{E_{0x}^2}{2} + \frac{E_{0y}^2}{2} \right)$

Elektromagnetische Wellen in Materie

Mikroskopisches klassisches Modell	Anne: Ebene Welle in z-Richtung, Polariert in x-Richtung. Jedes Atom-Elektron wird angeregt: $m\ddot{x} + b\dot{x} + Dx = -eE_0 e^{i(\omega t - kz)}$; $m \rightarrow \dot{x} + \frac{b}{m}\dot{x} + \frac{D}{m}x = -\frac{eE_0}{m}e^{i\omega t} e^{-ikz}$ Ansatz $x = x_0 e^{i\omega t}$ $-\omega^2 x_0 e^{i\omega t} + i\frac{b}{m} \omega x_0 e^{i\omega t} + \frac{D}{m} x_0 e^{i\omega t} = -\frac{eE_0}{m} e^{i\omega t} e^{-ikz} \mid \frac{b}{m} \stackrel{\text{def}}{=} \gamma, \frac{D}{m} \stackrel{\text{def}}{=} \omega_0^2, z \stackrel{\text{def}}{=} 0 \Rightarrow -\omega^2 x_0 + i\gamma \omega x_0 + \omega_0^2 x_0 = -\frac{eE_0}{m}$ $x_0(-\omega^2 + i\gamma \omega + \omega_0^2) = -\frac{eE_0}{m} \Rightarrow x_0 = -\frac{eE_0/m}{\omega_0^2 - \omega^2 + i\gamma \omega} \mid .(\frac{\omega_0^2 - \omega^2 - i\gamma \omega}{\omega_0^2 - \omega^2 - i\gamma \omega}) \Rightarrow x_0 = -\frac{(\omega_0^2 - \omega^2 - i\gamma \omega)e/m}{(\omega_0^2 - \omega^2)^2 + (\gamma \omega)^2} E_0 = -(a + i\beta)E_0 = -\sqrt{\alpha^2 + \beta^2} E_0 e^{i\varphi}$ $x_0 = \frac{e/m}{\sqrt{(\omega_0^2 - \omega^2)^2 + (\gamma \omega)^2}} E_0 e^{i(\omega t + \varphi)}$ mit $\varphi = -\arctan\left(\frac{\gamma \omega}{\omega_0^2 - \omega^2}\right)$ Feld jedes Dipols mit $p = -ex$: $E_D = -\frac{e\omega^2 x_0}{4\pi\epsilon_0 c^2 r} \frac{1}{r} \sin(\vartheta) e^{i\omega(t-r/c)}$ $E(z) = -\frac{e\omega^2 x_0}{4\pi\epsilon_0 c^2} e^{i\omega t} \Delta z \int_0^\infty N e^{-i\omega r/c} \frac{1}{r} \sin(\vartheta) 2\pi \rho d\rho \approx -i\omega \frac{\Delta z}{c} \frac{N e^2}{2\epsilon_0 m (\omega_0^2 - \omega^2 + i\gamma \omega)} E_0 e^{i\omega(t-z/c)}$	Optisch dünnes Medium: $n = \frac{c_0}{c'} \approx n' \approx 1 + \frac{Ne^2}{2\epsilon_0 m (\omega_0^2 - \omega^2 + i\gamma \omega)}$
Leitendes Medium	$n = n' - ki$; $n^2 = 1 + \frac{Ne^2}{\epsilon_0 m_e (\omega_0^2 - \omega^2 + i\gamma \omega)}$ N ... Ladungsträgerdichte $n' = \sqrt{\epsilon_r \mu_r}$ $n^2 = 1 + \frac{Ne^2}{\epsilon_0 m_e (\omega_0^2 - \omega^2 + i\gamma \omega)}$ γ ... Dämpfungskonstante	Optisch dünnes Medium: $n = \frac{c_0}{c'} \approx n' \approx 1 + \frac{Ne^2}{2\epsilon_0 m (\omega_0^2 - \omega^2 + i\gamma \omega)}$
$\omega \tau \ll 1$; leit. Med.:	$n \approx (1-i)\sqrt{\frac{\sigma}{2\epsilon_0 \omega}}$; $\alpha = \sqrt{\frac{2\omega\sigma}{\epsilon_0 c^2}}$	
$\omega \tau \gg 1$; leit. Med.:	$n \approx \sqrt{1 - \frac{\sigma}{\epsilon_0 \omega^2 \tau}}$; $\alpha = \frac{2}{c} \sqrt{\omega_p^2 - \omega^2}$	
Plasma-Frequenz:	$\omega_p = \sqrt{\frac{Ne^2}{\epsilon_0 m_e}} = \sqrt{\frac{\sigma}{\epsilon_0 \tau}}$ Snellius: $\frac{\sin \alpha}{\sin \beta} = \frac{n_2}{n_1} = \frac{c_1}{c_2}$	Absorptionskoeff. $R_s = \frac{A_{2x}^2}{A_{2s}^2} = \left(\frac{n_1 \cos \alpha - n_2 \cos \beta}{n_1 \cos \alpha + n_2 \cos \beta} \right)^2 = \left(\frac{\sin(\alpha-\beta)}{\sin(\alpha+\beta)} \right)^2$ $R_p = \frac{A_{2p}^2}{A_{2ep}^2} = \left(\frac{n_2 \cos \alpha - n_1 \cos \beta}{n_2 \cos \alpha + n_1 \cos \beta} \right)^2 = \left(\frac{\tan(\alpha-\beta)}{\tan(\alpha+\beta)} \right)^2$ $R(0) = \left(\frac{n_1 - n_2}{n_1 + n_2} \right)^2 T(0) = \frac{4n_1 n_2}{(n_1 + n_2)^2}$ Leitendes Medium: $R(0) = \frac{(n'-1)^2 + \kappa^2}{(n'+1)^2 + \kappa^2}$
Fresnel Refl.koeff. Transm.k.	$R_s = \frac{A_{2x}^2}{A_{2s}^2} = \left(\frac{n_1 \cos \alpha - n_2 \cos \beta}{n_1 \cos \alpha + n_2 \cos \beta} \right)^2 = \left(\frac{\sin(\alpha-\beta)}{\sin(\alpha+\beta)} \right)^2$ $R_p = \frac{A_{2p}^2}{A_{2ep}^2} = \left(\frac{n_2 \cos \alpha - n_1 \cos \beta}{n_2 \cos \alpha + n_1 \cos \beta} \right)^2 = \left(\frac{\tan(\alpha-\beta)}{\tan(\alpha+\beta)} \right)^2$ $R(0) = \left(\frac{n_1 - n_2}{n_1 + n_2} \right)^2 T(0) = \frac{4n_1 n_2}{(n_1 + n_2)^2}$ Leitendes Medium: $R(0) = \frac{(n'-1)^2 + \kappa^2}{(n'+1)^2 + \kappa^2}$	Reflexion R $\Delta \phi_s = \pi/2 - \alpha_B$ $\Delta \phi_p = \pi - \alpha_B$ $\Delta \phi_s = \pi/2 - \alpha_B$ $\Delta \phi_p = \pi - \alpha_B$ $\Delta \phi_s = \pi/2 - \alpha_B$ $\Delta \phi_p = \pi - \alpha_B$ $\Delta \phi_s = \pi/2 - \alpha_B$ $\Delta \phi_p = \pi - \alpha_B$
Brewster-winkel α_B :	Wenn $\alpha_B + \beta = 90^\circ \Rightarrow A_{rp} = 0$; $\alpha_B = \arctan\left(\frac{n_2}{n_1}\right)$	Total-reflexion $n_1 > n_2$: TotRefl. $n_1 > n_2$: wenn $\sin(\alpha) > \frac{n_2}{n_1}$

Optik

Abbildungsgleichung dünne Linse	$\frac{1}{f} = \frac{1}{g} + \frac{1}{b}$	f ... Brennweite g ... Gegenstandsweite b ... Bildweite	Brennweite dünne Linse	$\frac{1}{f} = (n-1) \left(\frac{1}{R_1} - \frac{1}{R_2} \right)$	Abbildungsmaßstab	$M = \frac{\overline{BB'}}{\overline{AA'}} = \frac{a}{b}$
Brennweite dicke Linse	$\frac{1}{f} = (n-1) \left(\frac{1}{R_1} - \frac{1}{R_2} + \frac{(n-1)fD}{nR_1 R_2} \right)$	Hauptachsen:	$h_1 = -\frac{(n-1)fD}{nR_2}; h_2 = -\frac{(n-1)fD}{nR_1}$	Linsensystem	$\frac{1}{f} = \frac{1}{f_1} + \frac{1}{f_2} - \frac{d}{f_1 f_2}; h = \frac{d(f_1-f)}{f_1}$	
Vergrößerung	$V = \frac{\text{Sehwinkel mit Instrument } \varepsilon}{\text{Sehwinkel ohne Instrument } \varepsilon_0} = \frac{\varepsilon}{\varepsilon_0}$		$V_{\text{Mikroskop}} = \frac{bs_0}{gf_1}$	$V_{\text{Fernrohr}} = \frac{f_1}{f_2}$	$V_{\text{Lupe}} = \frac{B/b}{G/s_0} = \frac{G/g}{G/s_0} = \frac{s_0}{g}$	Deutl. Sehweite $s_0 = 250\text{mm}$
Mikroskop		Kepler Fernrohr				
Strahlenweg einzelne Linse:	1. Brennlinse: Brennpunkt F beim Gegenstand, F' beim Bild. Bei Zerstreuungslinse umgekehrt. 2. <u>Achsenparalleler Strahl</u> vom Gegenstand zur Linse zeichnen 3. Strahl verlässt die Linse bei der Linsenachse so, dass er durch F' läuft 4. <u>Mittelpunktsstrahl</u> gerade vom Gegenstand durch den Mittelpunkt der Linse zeichnen 5. <u>Brennpunktstrahl</u> durch F bis zur Linse führen, dort achsenparallel weiter bis zur horizontalen Position von F' zeichnen 6. Nur zwei der drei Strahlen sind zur Konstruktion notwendig. 7. Bei dicken Linsen verlaufen alle Strahlen zwischen den Linsenhauptachsen achsenparallel. 8. Wo sich die Strahlen schneiden, ist das Bild					
Strahlenweg Linsensystem	1. <u>Achsenparalleler Strahl</u> vom Gegenstand zur Linse zeichnen. 2. Der Strahl verlässt die 1. Linse bei der Linsenachse so, dass er durch F'_1 läuft 3. Strahl weiterführen bis Linse 2 4. <u>Parallele Hilfsgerade</u> durch die Mitte von Linse 2 ziehen. 5. Hilfsgerade weiter führen bis zur horizontalen Position von F'_2. Dies sei der Punkt P. 6. Der Strahl verlässt Linse 2 bei der Linsenhauptachse Richtung Punkt P 7. Wo der Strahl die waagrechte Achse schneidet, ist der gemeinsame Brennpunkt F des Linsensystems 8. Wenn man den letzten Strahl Richtung Linse 1 zurückzeichnet, und mit dem achsenparallelen Strahl von Punkt 1 schneidet, bekommt man die Position der Hauptachse des Linsen-Gesamtsystems					
Interferenz am Spalt	$I(\vartheta) = I_s \frac{\sin^2(x)}{x^2}; x = \frac{\pi b}{\lambda} \sin(\vartheta)$	Minima: $\sin(\vartheta_n) = \frac{n\lambda}{b}; n \in \mathbb{N}_+$	Maxima: $\sin(\vartheta_n) = \frac{(2n+1)\lambda}{2b}$			
Interferenz am Gitter	$I(\vartheta) = I_s \frac{\sin^2(x_1) \sin^2(x_2)}{x_1^2 x_2^2}; x_1 = \frac{\pi b}{\lambda} \sin(\vartheta); x_2 = \frac{\pi d}{\lambda} \sin(\vartheta)$					
Phasen- verschieb.	$\Delta\varphi = \frac{2\pi\Delta s}{\lambda} + \delta\varphi; \delta\varphi = \begin{cases} \pi & \text{wenn } n_2 > n_1 \\ 0 & \text{wenn } n_2 \leq n_1 \end{cases}$					
Auflösung : Rayleigh-Krit: Hauptmax. von A darf nicht näher als 1. min. von B	$\delta_{\min} = \frac{1,22 \lambda}{D_{\text{Linse}}} \text{ Abst.}$	$\tan \frac{\delta}{2} \approx \frac{\delta}{2} = \frac{d/2}{g} \Rightarrow d_{\min} = \frac{1,22 \lambda}{2 D_{\text{Linse}}} \Rightarrow d_{\min} = \frac{1,22 \lambda g}{D_{\text{Linse}}}$			Winkelauflösungsvermögen	$R_w = \frac{1}{\delta_{\min}}$
Mikroskop Auf- lösung Rayleigh:	$d_{\min} = \frac{1,22 \lambda g}{D_{\text{Obj}}} \approx \frac{1,22 \lambda f}{D_{\text{Obj}}} \mid \tan \alpha \approx \sin \alpha = \frac{D_{\text{Obj}}/2}{f} \Rightarrow d_{\min} = 1,22 \frac{\lambda}{2 \sin \alpha} = 1,22 \frac{\lambda_0}{2 n \sin \alpha} = 0,61 \frac{\lambda_0}{n \sin \alpha} = 0,61 \frac{\lambda_0}{N_A}$					
Fernrohr Auf- lösung Rayleigh:	$\tan \left(\frac{\delta}{2} \right) = \frac{d/2}{g} \Rightarrow \frac{\delta}{2} \approx \frac{d}{2g} \Rightarrow \delta = \frac{d}{g} \mid \delta = \frac{1,22 \lambda}{D_{\text{Linse}}} \Rightarrow \frac{1,22 \lambda}{D_{\text{Linse}}} = \frac{d}{g} \Rightarrow d_{\min} = \frac{1,22 \lambda g}{D_{\text{Linse}}}$					
Mikroskop Auf- lösung Abbe:	Doppelspalt erstes Max.	$\Delta\varphi = \frac{2\pi\Delta s}{\lambda} \mid \Delta\varphi = 2\pi \Rightarrow \Delta s = \lambda; \sin \alpha = \frac{\Delta s}{d} = \frac{\lambda}{d} \Rightarrow d_{\min} = \frac{\lambda}{\sin \alpha} = \frac{\lambda_0}{n \sin \alpha} = \frac{\lambda_0}{N_A}$				

Matrixmethode in der Optik

Translations- matrix	$\frac{r_1 - r_0}{d} = \tan(\alpha_0) \approx \alpha_0 \quad \alpha_1 = \alpha_0 \quad \left(\begin{array}{c} r_1 \\ n\alpha_1 \end{array} \right) = \left(\begin{array}{cc} 1 & d \\ 0 & 1 \end{array} \right) \left(\begin{array}{c} r_0 \\ \alpha_0 \end{array} \right)$	Brechung an Kugel:	$\alpha - \alpha_1 = -\alpha_2 + \beta = \gamma = \frac{r_1}{R}$ $\text{Snellius: } n_1 \alpha = n_2 \beta$ $n_1 (\gamma + \alpha_1) = n_2 (\gamma + \alpha_2)$ $\left(\begin{array}{c} r_2 \\ \alpha_2 \end{array} \right) = \left(\begin{array}{cc} 1 & 0 \\ \frac{n_1 - n_2}{R} & 1 \end{array} \right) \left(\begin{array}{c} r_1 \\ \alpha_1 \end{array} \right)$ $n_1 \left(\frac{r_1}{R} + \alpha_1 \right) = n_2 \left(\frac{r_1}{R} + \alpha_2 \right)$ $n_2 \alpha_2 = n_1 \alpha_1 + (n_1 - n_2) \frac{r_1}{R}$
Dünne Linse in Luft	$\bar{M} = \begin{pmatrix} 1 & 0 \\ -\frac{1}{f} & 1 \end{pmatrix}$	Reflexions- matrix	$r_2 = r_1$ $\alpha_2 = 2\alpha + \alpha_1$ $\alpha_2 = 2(\alpha + \alpha_1) - \alpha_1$ $\alpha_2 = -2\frac{r_1}{R} - \alpha_1$ $\left(\begin{array}{c} r_2 \\ \alpha_2 \end{array} \right) = \left(\begin{array}{cc} 1 & 0 \\ -\frac{2}{R} & -1 \end{array} \right) \left(\begin{array}{c} r_1 \\ \alpha_1 \end{array} \right)$

Vielstrahl-Interferenz (Airy, Fabry-Pérot):

$A = \pm A_1 - A_2 e^{i\Delta\varphi} - A_3 e^{i2\Delta\varphi} - A_4 e^{i3\Delta\varphi} \dots = \pm\sqrt{R}A_0 \mp \sqrt{R}(1-R)R^0A_0e^{i\Delta\varphi} \mp \sqrt{R}(1-R)R^1A_0e^{i2\Delta\varphi} \mp \sqrt{R}(1-R)R^2A_0e^{i3\Delta\varphi} \dots$
$A = \pm A_0\sqrt{R}(1 - (1-R)\sum_{m=0}^{\infty} R^m e^{i(m+1)\Delta\varphi}) = \pm A_0\sqrt{R}(1 - (1-R)e^{i\Delta\varphi}\sum_{m=0}^{\infty} R^m e^{im\Delta\varphi}) = \pm A_0\sqrt{R}(1 - (1-R)e^{i\Delta\varphi}\frac{1}{1-Re^{i\Delta\varphi}})$
$A = \pm A_0\sqrt{R}\frac{1-Re^{i\Delta\varphi}-e^{i\Delta\varphi}+Re^{i\Delta\varphi}}{1-Re^{i\Delta\varphi}} = \pm A_0\sqrt{R}\frac{1-Re^{i\Delta\varphi}-e^{i\Delta\varphi}+Re^{i\Delta\varphi}}{1-Re^{i\Delta\varphi}} = \pm A_0\sqrt{R}\frac{1-e^{i\Delta\varphi}}{1-Re^{i\Delta\varphi}} \dots \text{(1)} I_R = c\varepsilon_0 A A^* = c\varepsilon_0 A_0^2 R \frac{1-e^{i\Delta\varphi}}{1-Re^{i\Delta\varphi}} \frac{1-e^{-i\Delta\varphi}}{1-Re^{-i\Delta\varphi}} \Rightarrow$
Airy-Formeln
$I_R = I_0 \frac{F \sin^2(\Delta\varphi/2)}{1+F \sin^2(\Delta\varphi/2)}$
$I_T = I_0 \frac{1}{1+F \sin^2(\Delta\varphi/2)}$
mit $F = \frac{4R}{(1-R)^2}$ und $\Delta\varphi = \frac{2\pi\Delta s}{\lambda}$ und $\Delta s = 2d\sqrt{n^2 - \sin^2(\alpha)}$
$\Delta\varphi = \frac{2\pi\Delta s}{\lambda} = \frac{4\pi nd}{\lambda} = 2m\pi \Rightarrow \lambda_m = \frac{2nd}{m}$
Fabry-Pérot $\Rightarrow \alpha=0$
HW-Breite: $\Delta\nu = \frac{c}{2nd} \frac{1-R}{\pi\sqrt{R}}$
Freier Spektralbereich
$\delta\lambda = \lambda_m - \lambda_{m+1} = \frac{2nd}{m} - \frac{2nd}{m+1} = \frac{\lambda_m}{m+1}$
$\delta\nu = \frac{c}{\lambda_{m+1}} - \frac{c}{\lambda_m} = \frac{c}{2nd}$
Finesse: $F^* = \frac{\delta\nu}{\Delta\nu} = \frac{\pi\sqrt{R}}{1-R}$

Fourier-Reihen und Fourier-Transformation:

$f(x) = \frac{a_0}{2} + \sum_{n=1}^{\infty} (a_n \cos nx + b_n \sin nx) = \frac{a_0}{2} + \sum_{n=1}^{\infty} A_n \sin(nx + \varphi_n)$	$A_n = \sqrt{a_n^2 + b_n^2}; \quad \varphi_n = \arctan \frac{a_n}{b_n}$
Periode 2π : $a_0 = \frac{1}{\pi} \int_0^{2\pi} f(x) dx; \quad a_n = \frac{1}{\pi} \int_0^{2\pi} f(x) \cos nx dx; \quad b_n = \frac{1}{\pi} \int_0^{2\pi} f(x) \sin nx dx$	Zulässig ist Integration von beliebigem Startpunkt aus, wenn genau eine Periodendauer integriert wird (z.B. $-\pi$ bis $+\pi$ statt 0 bis 2π)
Periode T : $a_0 = \frac{2}{T} \int_0^T f(x) dx; \quad a_n = \frac{2}{T} \int_0^T f(x) \cos\left(\frac{2\pi}{T}nx\right) dx; \quad b_n = \frac{2}{T} \int_0^T f(x) \sin\left(\frac{2\pi}{T}nx\right) dx$	
Bei geraden Funktionen $f(-x)=f(x)$ nur $\cos(nx)$ -Terme, bei ungeraden Funktionen $f(-x)=-f(x)$ nur $\sin(nx)$ -Terme.	
Fourier-Transformation: $F(\omega) = \int_{-\infty}^{+\infty} f(t) e^{-i\omega t} dt$	

Sonstiges:

Nabla Operator: $\vec{\nabla} = \begin{pmatrix} \frac{\partial}{\partial x} \\ \frac{\partial}{\partial y} \\ \frac{\partial}{\partial z} \end{pmatrix}$	Gradient von $f(\vec{r})$: $\text{grad}(f(\vec{r})) = \vec{\nabla} f(\vec{r}) = \begin{pmatrix} \frac{\partial f(\vec{r})}{\partial x} \\ \frac{\partial f(\vec{r})}{\partial y} \\ \frac{\partial f(\vec{r})}{\partial z} \end{pmatrix}$	Divergenz von $\vec{v}(\vec{r})$: (wenn $0 \Rightarrow$ quellenfrei) $\text{div} \begin{pmatrix} v_x(\vec{r}) \\ v_y(\vec{r}) \\ v_z(\vec{r}) \end{pmatrix} = \vec{\nabla} \cdot \begin{pmatrix} v_x(\vec{r}) \\ v_y(\vec{r}) \\ v_z(\vec{r}) \end{pmatrix} = \frac{\partial v_x(\vec{r})}{\partial x} + \frac{\partial v_y(\vec{r})}{\partial y} + \frac{\partial v_z(\vec{r})}{\partial z} > 0 \dots$ Quelle, $< 0 \dots$ Senke, $0 \dots$ ohne Quelle und Senke inkompressible Flüssigkeit: $\forall \vec{r}: \vec{\nabla} \cdot \vec{v}(\vec{r}) = 0$	
Rotation von $\vec{v}(\vec{r})$: $\text{rot} \begin{pmatrix} v_x(\vec{r}) \\ v_y(\vec{r}) \\ v_z(\vec{r}) \end{pmatrix} = \vec{\nabla} \times \begin{pmatrix} v_x(\vec{r}) \\ v_y(\vec{r}) \\ v_z(\vec{r}) \end{pmatrix} = \begin{pmatrix} \frac{\partial v_z(\vec{r})}{\partial y} - \frac{\partial v_y(\vec{r})}{\partial z} \\ \frac{\partial v_x(\vec{r})}{\partial z} - \frac{\partial v_z(\vec{r})}{\partial x} \\ \frac{\partial v_y(\vec{r})}{\partial x} - \frac{\partial v_x(\vec{r})}{\partial y} \end{pmatrix}$	Wenn 0: wirbelfrei \Rightarrow \exists Potential $\nabla\phi = \vec{v}(\vec{r})$	$\vec{\nabla} \times (\vec{\nabla} f) = 0$ ("Gradientenfeld ist wirbelfrei") $\vec{\nabla} \cdot (\vec{\nabla} \times \vec{v}) = 0$ ("Feld der Rotation ist quellenfrei") $\vec{\nabla} \cdot (\vec{\nabla} f) = \vec{\Delta} f$ $\vec{\nabla} \cdot (f \vec{v}) = (\vec{\nabla} f) \cdot \vec{v} + f(\vec{\nabla} \cdot \vec{v})$ $\vec{\nabla} \times (f \vec{v}) = (\vec{\nabla} f) \times \vec{v} + f(\vec{\nabla} \times \vec{v})$ $\vec{\nabla} \times \vec{v} \times \vec{v} = \vec{v}(\vec{\nabla} \cdot \vec{v}) - \vec{\Delta} \vec{v}$ $\vec{\nabla} \cdot (f \vec{v} g) = (\vec{\nabla} f) \cdot (\vec{\nabla} g) + \vec{\Delta} g$ $\vec{\nabla} (f g) = f(\vec{\nabla} g) + g(\vec{\nabla} f)$ $\vec{\nabla} \cdot (f \vec{v}) = f(\vec{\nabla} \cdot \vec{v}) + \vec{v}(\vec{\nabla} f)$ $\vec{a} \times (\vec{b} \times \vec{c}) = \vec{b}(\vec{a} \cdot \vec{c}) - \vec{c}(\vec{a} \cdot \vec{b})$ ("BAC-CAB-Regel")	
Laplace-Operator von $f(\vec{r})$ (skalar) $\vec{\nabla}^2 f(\vec{r}) = \vec{\nabla}(\vec{\nabla} f(\vec{r}))$ $\vec{\nabla}^2 f(\vec{r}) = \vec{\nabla}^2 f(\vec{r}) = \frac{\partial^2 f}{\partial x^2} + \frac{\partial^2 f}{\partial y^2} + \frac{\partial^2 f}{\partial z^2}$	Laplace-Operator vektoriell $\vec{\nabla}^2 \begin{pmatrix} v_x(\vec{r}) \\ v_y(\vec{r}) \\ v_z(\vec{r}) \end{pmatrix} = \begin{pmatrix} \vec{\Delta} v_x(\vec{r}) \\ \vec{\Delta} v_y(\vec{r}) \\ \vec{\Delta} v_z(\vec{r}) \end{pmatrix}$		
"Taylors" f. kleine x $e^x \approx 1 + x; \quad \frac{1}{1+x} \approx 1 \mp x; \quad \sqrt{1+x} \approx 1 + \frac{x}{2}; \quad \frac{1}{\sqrt{1+x}} \approx 1 - \frac{x}{2}; \quad \frac{1}{\sqrt{1-x}} \approx 1 + \frac{x}{2}; \quad \sin x \approx x; \quad \tan x \approx x; \quad \cos x \approx 1 - \frac{x^2}{2}$	Komplexe Zahl $z = a + bi; \quad a = z \cos \varphi; \quad b = z \sin \varphi$	Polarform: $z = z (\cos \varphi + i \sin \varphi) = z e^{i\varphi}; \quad z = \sqrt{a^2 + b^2}; \quad \varphi = \arctan \frac{b}{a}$	
Flächenelement in Kugelkoordinaten: $dA = r^2 \sin \vartheta d\varphi d\vartheta$	Kugelvolumen: $V_K = \frac{4}{3}\pi R^3$	Kugeloberfl.: $A_K = 4\pi R^2$	Brechungsindex: $n = \frac{\sin \alpha}{\sin \beta} = \frac{v_{ph1}}{v_{ph2}}$

Physik I

Stand 15.08.2021

Koordinatensysteme

Kugel $\begin{pmatrix} r \\ \vartheta \\ \varphi \end{pmatrix} \rightarrow \begin{pmatrix} x = r \sin \vartheta \cos \varphi \\ y = r \sin \vartheta \sin \varphi \\ z = r \cos \vartheta \end{pmatrix}; \det\left(\frac{\partial(x,y,z)}{\partial(r,\vartheta,\varphi)}\right) = r^2 \sin \vartheta$	Zylinder $\begin{pmatrix} r \\ \varphi \\ z \end{pmatrix} \rightarrow \begin{pmatrix} x = r \cos \varphi \\ y = r \sin \varphi \\ z = z \end{pmatrix}; \det\left(\frac{\partial(x,y,z)}{\partial(r,\vartheta,z)}\right) = r; \left \begin{pmatrix} x \\ y \\ z \end{pmatrix}\right = \sqrt{r^2 + z^2}$
---	---

Kinematik

Linear: $\vec{v} = \int \vec{a} dt = \vec{v}_0 + \vec{a}t; \vec{s} = \int \vec{v} dt = \vec{s}_0 + \vec{v}_0 t + \frac{\vec{a}}{2} t^2$	Kreis: $\vec{\omega} = \int \dot{\vec{\omega}} dt = \vec{\omega}_0 + \vec{\omega}t; \vec{\varphi} = \int \vec{\omega} dt = \vec{\varphi}_0 + \vec{\omega}_0 t + \frac{\vec{\omega}}{2} t^2$
Kreis \rightarrow Lin. $\omega = \frac{d\varphi}{dt} = 2\pi f; s = r\varphi; \vec{r} = \begin{pmatrix} r \cos \omega t \\ r \sin \omega t \end{pmatrix}; \vec{v} = \vec{\omega} \times \vec{r} = \frac{d\vec{r}}{dt} = \begin{pmatrix} -r\omega \sin \omega t \\ +r\omega \cos \omega t \end{pmatrix}; \vec{a}_t = \vec{\omega} \times \vec{r}$	Frequenz: $f = \frac{1}{T} = \frac{v}{\lambda}$
Allg. Bew. $\vec{a} = \frac{d(v\vec{e}_t)}{dt} = \frac{dv}{dt}\vec{e}_t + v\frac{d\vec{e}_t}{dt} = \frac{dv}{dt}\vec{e}_t + v\frac{d\vec{e}_n}{dt}\vec{e}_n = \frac{dv}{dt}\vec{e}_t + \frac{v^2}{\rho}\vec{e}_n$	
Rot. Syst: $\vec{v} = \vec{v}' + \vec{\omega} \times \vec{s}; \vec{a}' = \vec{a} + 2\vec{v}' \times \vec{\omega} + \vec{\omega} \times (\vec{s} \times \vec{\omega}) = \vec{a} + \text{Coriolis} + \text{Zentrifugal}$	Zentriptalbeschleunigung: $\vec{a}_z = -r\omega^2\vec{e}_r$

Newton

Axiom 1: $\vec{p} = m\vec{v}$	Axiom 2: $\vec{F} = \frac{d\vec{p}}{dt} = m\vec{a}$	Axiom 3: $\vec{F}_{12} = -\vec{F}_{21} \Rightarrow \vec{F}_{12} + \vec{F}_{21} = 0 \Rightarrow \frac{d\vec{p}_1}{dt} + \frac{d\vec{p}_2}{dt} = 0 \Rightarrow \vec{p}_1 + \vec{p}_2 = \text{const.}$
Gravitation $\vec{F}_G = m\vec{g} = -\frac{GmM}{r^2}\vec{e}_r$	Feldstärke: $\vec{g}(\vec{r}) = \frac{\vec{F}_G}{m} = \vec{g} = -\frac{GM}{r^2}\vec{e}_r$	Potential $\phi = - \int \vec{g}(\vec{r}) d\vec{r} = -\frac{GM}{r}; \vec{g}(\vec{r}) = -\nabla\phi$
Impuls: $\vec{p} = m\vec{v}; [\frac{kg\ m}{s}]$	Dreh-impuls: $\vec{L} = I\vec{\omega} = \vec{r} \times \vec{p} = m(\vec{r} \times \vec{v}) = m(\vec{r} \times (\vec{\omega} \times \vec{r})) = m(\vec{\omega}(\vec{r} \cdot \vec{r}) - \vec{r}(\vec{r} \cdot \vec{\omega})) = mr^2\vec{\omega}; [\frac{kg\ m^2}{s}]$	
Kraft: $\vec{F} = \frac{d\vec{p}}{dt} = m\frac{d\vec{v}}{dt} + \vec{v}\frac{dm}{dt} = m\vec{a} + \vec{v}\frac{dm}{dt}; [\frac{kg\ m}{s^2}], [N]$	Dreh-moment $\vec{D} = \frac{d\vec{L}}{dt} = I\frac{d\vec{\omega}}{dt} = \vec{r} \times \vec{F}; [Nm] = [\frac{kg\ m^2}{s^2}]$	
Arbeit: $W = \int \vec{F} d\vec{s} = \int P dt; [J] = [Nm] = [Ws] = [\frac{kg\ m^2}{s^2}]$	Arbeit: $W = \int \vec{D} d\phi$	
Energie: $E_{pot}^{grav} = mgh; E_{pot}^{grav} = \phi m = -\frac{GmM}{r}; E_{kin} = \frac{mv^2}{2} = \frac{m^2v^2}{2m} = \frac{p^2}{2m} \Rightarrow \frac{\partial E_{kin}}{\partial p} = \frac{p}{m} = v$	Energie: $E_{rot} = \frac{1}{2} \int v(\vec{r}_\perp)^2 dm = \frac{1}{2} \omega^2 \int r_\perp^2 dm = \frac{l\omega^2}{2} = \frac{l\omega^2 l}{2l} = \frac{l^2}{2l}$	
Leistung: $P = \frac{dW}{dt} = \frac{d \int \vec{F} d\vec{s}}{dt} = \vec{F} \cdot \frac{d\vec{s}}{dt} = \vec{F} \cdot \vec{v}; [W] = [\frac{J}{s}] = [\frac{kg\ m^2}{s^3}]$	Leistung: $P = \vec{D} \cdot \vec{\omega}$	
Planetenbahn: $E_{pot} = -\frac{GmM}{r} \dots (1); E_{kin} = \frac{mv^2}{2} \dots (2) \vec{v} = v_r \vec{e}_r + v_t \vec{e}_t \Rightarrow \vec{v}^2 = v_r^2 + v_t^2 \stackrel{(2)}{\Rightarrow} E_{kin} = \frac{m}{2}(v_r^2 + v_t^2) = \frac{m}{2}(\vec{r}^2 + r^2\phi^2) \Rightarrow E_{kin} = \frac{m}{2}(\vec{r}^2 + r^2 \left(\frac{L}{mr^2}\right)^2) = \frac{mr^2}{2} + \frac{L^2}{2mr^2} \dots (3) E = E_{pot} + E_{kin} = \frac{-GmM}{R} + \frac{L^2}{2mr^2} + \frac{mr^2}{2} = E_{pot}^{eff} + E_{kin}^{rad}$		

Spezielle Relativitätstheorie

Gamma: $\gamma = \frac{1}{\sqrt{1 - \frac{v^2}{c^2}}}; \beta = \frac{v}{c}$	$x = \gamma(x' + vt')$ $x' = \gamma(x - vt)$ Ort $y = y'$ $y' = y$ $z = z'$ $z' = z$	Geschw. $v_x = \frac{v'_x + v}{1 + v'_x \frac{v}{c^2}}; v_y = \frac{v'_y}{\gamma(1 + v'_x \frac{v}{c^2})}; v_z = \frac{v'_z}{\gamma(1 + v'_x \frac{v}{c^2})}$ $v_x' = \frac{v_x - v}{1 - v_x \frac{v}{c^2}}; v_y' = \frac{v_y}{\gamma(1 - v_x \frac{v}{c^2})}; v_z' = \frac{v_z}{\gamma(1 - v_x \frac{v}{c^2})}$
Zeitpunkt: $t = \gamma \left(t' + \frac{v}{c^2} x' \right)$ $t' = \gamma \left(t - \frac{v}{c^2} x \right)$	Dauer: $\tau = \gamma \tau_0$ Masse: $m = \gamma m_0$	Länge: $l = \frac{l_0}{\gamma}$ Frequenz $f_B = f_0 \sqrt{\frac{1 + \beta}{1 - \beta}}$ $f_R = f_0 \sqrt{\frac{1 - \beta}{1 + \beta}}$; $f_{traversal} = \frac{f_0}{\gamma}$
Impuls: $\vec{p} = m(\vec{v}) \vec{v} = \gamma m_0 \vec{v} = \text{const.}$		$E^2 - p^2 c^2 = m_0^2 c^4 = E_0^2 \dots \text{invariant}$
Invariante $(ct)^2 - (\Delta x)^2 - (\Delta y)^2 - (\Delta z)^2 = (\Delta s)^2; (\Delta s)^2 > 0: \text{zeitartig}, (\Delta s)^2 < 0: \text{raumartig}, (\Delta s)^2 = 0: \text{lichtartig}$		
Energie: $E = E_0 + E_{kin} = m_0 c^2 + mc^2 - m_0 c^2 = mc^2 = \gamma m_0 c^2 = \sqrt{p^2 c^2 + m_0^2 c^4}; E_{kin} = E - E_0 = \sqrt{p^2 c^2 + m_0^2 c^4} - m_0 c^2$		

Schwerpunktsystem

$\vec{r}_s = \frac{1}{M} \sum_{i=1}^n m_i \vec{r}_i$	$\vec{v}_s = \frac{1}{M} \sum_{i=1}^n m_i \vec{v}_i = \frac{\vec{p}_{ges}}{M}$	$\sum p_{is} = 0$	$\vec{v}_i = \vec{v}_{is} + \vec{v}_s$ $\vec{v}_{is} = \vec{v}_i - \vec{v}_s$	Reduzierte Masse: $\mu = \frac{m_1 m_2}{m_1 + m_2}$
$E_{kin} = E_{kin}^{im\ SPS} + E_{kin}^{des\ SPS} = \frac{1}{2} \mu v_{12}^2 + \frac{1}{2} m v_s^2$	Dreh-impuls: $\vec{L} = \vec{L}_S^{im\ SPS} + \vec{L}_{SO}^{des\ SPS}; \vec{L}_S = \sum m_i (\vec{r}_{is} \times \vec{v}_{is}) = \vec{r}_{12} \times \mu \vec{v}_{12}; \vec{L}_{SO} = M(\vec{r}_s \times \vec{v}_s);$			

Trägheitsmoment

$I = \int_K r^2 dm = \rho \int_K r^2 dV = \frac{m}{V_K} \int_K r^2 dV; [kg m^2]$	$dV = dx dy dz = r^2 \sin \vartheta \cdot dr d\varphi d\theta = r \cdot dr d\varphi dz$
I zusammensetzen aus Teilstücken mit bekanntem TM $dl = f(K)dm$; Rot.-Achse „passend“:	$I = \int_K f(K) dm = \rho \int_K f(K) dV = \frac{M}{V} \int_K f(K) dV$
Steiner: $I' = I + mr^2$	I zusammensetzen aus Teilstücken parallel zur Rot.-Achse R mit bekanntem Trägheitsmoment $I dm$ entlang einer Koordinate $k \perp R$:
$V_{Kugel} = \int_{\vartheta=0}^{\pi} \int_{\varphi=0}^{2\pi} \int_{r=0}^R r^2 \sin \vartheta \cdot dr d\varphi d\theta = \frac{4}{3} \pi R^3$	$V_{Zyl} = \int_{z=0}^h \int_{\varphi=0}^{2\pi} \int_{r=0}^R r \cdot dr d\varphi dz = \pi R^2 h$
Massenpunkt, Ring, Zylindermantel: $I = mr^2$	Ring (\emptyset -Achse), Kreisscheibe, Vollzylinder: $I = \frac{m}{2} r^2$
Kugelschale $I = \frac{2}{3} mr^2$	Kreisscheibe (\emptyset -Achse) $I = \frac{m}{4} r^2$
Kugel: $I = \frac{2}{5} mr^2$	Hohlzylinder: $I = \frac{m}{2} (r_2^2 - r_1^2)$
	Quader (z-Achse): $I_z = \frac{m}{12} (a^2 + b^2)$
	Messung I: $T = 2\pi \sqrt{\frac{l_0 + IA}{D_r}}$; D _r : $T_0 = 2\pi \sqrt{\frac{l_0}{D_r}}$; $T_1 = 2\pi \sqrt{\frac{l_0 + mr^2/2}{D_r}}$; $T_1^2 - T_0^2 = \frac{2\pi^2 mr^2}{D_r}$
	Stab (Achse durch MP) $I = \frac{m}{12} l^2$
	Stab, Achse durch Ende: $I = \frac{m}{3} l^2$

Rotation starrer ausgedehnter Körper

Schwerpunkt: $\vec{s} = \frac{1}{M} \int_V \vec{r} \rho(\vec{r}) dV$	Homogen: $\vec{s} = \frac{\rho}{M} \int_V \vec{r} dV = \frac{1}{V} \int_V \vec{r} dV$	Bew. eines Punktes im Körper mit $\vec{\omega}$ raumfest	$\vec{v}_t = \vec{v}_s + \vec{v}_{ls} = \vec{v}_s + (\vec{\omega} \times \vec{r}_{ls})$
Raumfeste Achse $\parallel \vec{e}_z$	$\vec{D} = (\vec{r}_\perp \times \vec{F}) = \vec{r}_\perp \times \vec{F}_z + \vec{r}_\perp \times \vec{F}_t + \vec{r}_\perp \times \vec{F}_n$; \vec{F}_z wird aufgefangen, \vec{F}_t bewirkt \vec{D}_\parallel zu Achse		
Drehimpuls:	$d\vec{L} = \vec{r}_\perp \times d\vec{p} = \vec{r}_\perp \times (dm \vec{v}) = dm (\vec{r}_\perp \times (\vec{\omega} \times \vec{r}_\perp)) = dm (\vec{\omega} \vec{r}_\perp^2 - \vec{r}_\perp (\vec{r}_\perp \cdot \vec{\omega})) = r_\perp^2 \vec{\omega} dm \Rightarrow \vec{L} = \int r_\perp^2 dm \vec{\omega} = I \vec{\omega}$		
BWGL:	$\vec{D} = \frac{d\vec{L}}{dt} = I \frac{d\vec{\omega}}{dt} = I \ddot{\vec{\omega}}$	$\Rightarrow \ddot{\vec{\omega}} = \frac{\vec{D}}{I}; \vec{\omega} = \int \ddot{\vec{\omega}} dt = \frac{\vec{D}}{I} t + \vec{\omega}_0; \vec{\varphi} = \int \vec{\omega} dt = \frac{\vec{D}}{2I} t^2 + \vec{\omega}_0 t + \vec{\varphi}_0$	
Rollender Körper, kinetisch:	$D = I \dot{\omega} \Rightarrow mg \sin(\alpha) r = (I_s + mr^2) \frac{a}{r} \Rightarrow a = \frac{mg \sin(\alpha) r^2}{I_s + mr^2} = \frac{mg \sin(\alpha)}{I_s/r^2 + m}$		
Energie: $E_{pot} \triangleq E_{kin} + E_{rot} \Rightarrow mgs \sin(\alpha) = \frac{mv^2}{2} + \frac{I\omega^2}{2} = \frac{mv^2}{2} \left(1 + \frac{I\omega^2}{mv^2}\right) = \frac{mv^2}{2} \left(1 + \frac{I}{mr^2}\right) \Rightarrow (v^2)' = \left(\frac{2g \sin(\alpha)}{1 + \frac{I}{mr^2}} s\right)' = av + va = 2av \Rightarrow \dots$			

Kreisel

Trägheitstensor: $d\vec{L} = dm (\vec{\omega} \vec{r}_\perp^2 - \vec{r}_\perp (\vec{r}_\perp \cdot \vec{\omega}))$ (s.O.) $\Rightarrow \vec{L} = \int (\vec{\omega} \vec{r}_\perp^2 - \vec{r}_\perp (\vec{r}_\perp \cdot \vec{\omega})) dm = \int r^2 \begin{pmatrix} \omega_x \\ \omega_y \\ \omega_z \end{pmatrix} dm - \int (x\omega_x + y\omega_y + z\omega_z) \begin{pmatrix} x \\ y \\ z \end{pmatrix} dm$	
$L_x = \int r^2 \omega_x dm - \int (x^2 \omega_x + xy\omega_y + xz\omega_z) dm = \int (r^2 - x^2) \omega_x dm - \int xy\omega_y dm - \int xz\omega_z dm = I_{xx} \omega_x + I_{xy} \omega_y + I_{xz} \omega_z$	
$L_y = \int r^2 \omega_y dm - \int (xy\omega_x + y^2 \omega_y + yz\omega_z) dm = \int xy\omega_x dm - \int (r^2 - y^2) \omega_y dm - \int yz\omega_z dm = I_{yx} \omega_x + I_{yy} \omega_y + I_{yz} \omega_z$	
$L_z = \int r^2 \omega_z dm - \int (xz\omega_x + xy\omega_y + z^2 \omega_z) dm = \int xz\omega_x dm - \int yz\omega_y dm - \int (r^2 - z^2) \omega_z dm = I_{zx} \omega_x + I_{zy} \omega_y + I_{zz} \omega_z$	
$\vec{L} = \begin{pmatrix} I_{xx} & I_{xy} & I_{xz} \\ I_{yx} & I_{yy} & I_{yz} \\ I_{zx} & I_{zy} & I_{zz} \end{pmatrix} \cdot \begin{pmatrix} \omega_x \\ \omega_y \\ \omega_z \end{pmatrix} = \tilde{I} \cdot \vec{\omega}$	Energie $E_{rot} = \frac{1}{2} dm v^2 = \frac{1}{2} dm (\vec{\omega} \times \vec{r})^2 = \frac{1}{2} (\omega^2 r^2 - (\vec{\omega} \cdot \vec{r})^2) dm = \frac{\vec{\omega}^2}{2} \int r^2 dm - \frac{1}{2} \int (\vec{\omega} \cdot \vec{r})^2 dm \Rightarrow$
$E_{rot} = \frac{1}{2} (\omega_x^2 + \omega_y^2 + \omega_z^2) \int r^2 dm - \frac{1}{2} \int (x\omega_x + y\omega_y + z\omega_z)^2 dm \Rightarrow$	
$E_{rot} = \frac{1}{2} (\omega_x^2 + \omega_y^2 + \omega_z^2) \int r^2 dm - \frac{1}{2} \int (x^2 \omega_x^2 + y^2 \omega_y^2 + z^2 \omega_z^2 + 2\omega_x \omega_y xy + 2\omega_x \omega_z xz + 2\omega_y \omega_z yz) dm \Rightarrow$	
$E_{rot} = \frac{1}{2} \omega_x^2 \int (r^2 - x^2) dm + \frac{1}{2} \omega_y^2 \int (r^2 - y^2) dm + \frac{1}{2} \omega_z^2 \int (r^2 - z^2) dm - \omega_x \omega_y \int xy dm - \omega_x \omega_z \int xz dm - \omega_y \omega_z \int yz dm \Rightarrow$	
$E_{rot} = \frac{1}{2} (\omega_x^2 I_{xx} + \omega_y^2 I_{yy} + \omega_z^2 I_{zz}) + \omega_x \omega_y I_{xy} + \omega_x \omega_z I_{xz} + \omega_y \omega_z I_{yz} = \frac{1}{2} \vec{\omega}^T \cdot \tilde{I} \cdot \vec{\omega}$	
Hauptträgheitsmomente	Diagonalisierung von \tilde{I} (i.e. löse $\tilde{I} - \lambda E = 0$) $\Rightarrow \vec{L} = \begin{pmatrix} I_a & 0 & 0 \\ 0 & I_b & 0 \\ 0 & 0 & I_c \end{pmatrix} \cdot \begin{pmatrix} \omega_a \\ \omega_b \\ \omega_c \end{pmatrix} = \begin{pmatrix} I_a \omega_a \\ I_b \omega_b \\ I_c \omega_c \end{pmatrix} = \tilde{I}^* \cdot \vec{\omega}^*$
Energie:	$E_{rot} = \frac{1}{2} \vec{\omega}^{*T} \cdot \tilde{I}^* \cdot \vec{\omega}^* = \frac{1}{2} (\omega_a^2 I_a + \omega_b^2 I_b + \omega_c^2 I_c) = \frac{L_a^2}{2I_a} + \frac{L_b^2}{2I_b} + \frac{L_c^2}{2I_c} \Rightarrow$ Rotation um Achse mit $E_{min} \triangleq$ Achse mit I_{max} (r_{max})
Drallsatz	$\vec{D} = \left(\frac{d\vec{L}}{dt} \right)_R = \left(\frac{d\vec{L}}{dt} \right)_K + (\vec{\omega}_K + \vec{L}_K)$ Euler gleich $D_a = I_a \frac{d\omega_a}{dt} + (I_c - I_b) \omega_b \omega_c; D_b = I_b \frac{d\omega_b}{dt} + (I_a - I_c) \omega_c \omega_a; D_c = I_c \frac{d\omega_c}{dt} + (I_b - I_a) \omega_a \omega_b$
Nutation:	äußeres $\vec{D} = 0 \Rightarrow \vec{L} = \text{const.}$; Spitze von \vec{L} liegt auf Schnittpunkt von Trägheitsellipsoid und Kugel $L_x^2 + L_y^2 + L_z^2 = const.$
Präzession	sei $\vec{\omega} = \vec{L}$ und äußeres $\vec{D} = m\vec{g}$. Dann: $d\vec{L} = \vec{D} dt = L d\varphi \Rightarrow \vec{D} = L \frac{d\varphi}{dt} \Rightarrow mgr = L\omega_p \Rightarrow \omega_p = \frac{mgr}{L} = \frac{mgr}{I\omega}$

Elastische Körper

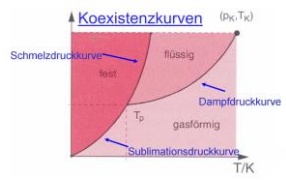
Hooke'sches Gesetz	$F = EA \frac{\Delta L}{L} \Leftrightarrow \frac{F}{A} = E \frac{\Delta L}{L} \Leftrightarrow \sigma = E \cdot \varepsilon$	$Elastizitätsmodul [E] = \frac{N}{m^2}; \text{ Zugspannung } [\sigma] = \frac{N}{m^2}; \text{ Rel. Dehnung } [\varepsilon] = 1$					
Biegepfeil	$s = \frac{L^3}{3EB} F$	Beiderseits eingespannt	$s_{max} = \frac{s}{16} \left(\text{weil } \frac{F}{2} \text{ auf } 2x \frac{l}{2} \right)$	Deform.-arbeit	$W_{Def} = V \int_0^e \sigma d\varepsilon = \frac{1}{2} EV\varepsilon^2$		
Flächenträgheitsmoment	$B = \iint z^2 dy dz; [m^4]$	Rechteckbalken:	$B = \frac{bd^3}{12} b = \Delta y$	Rund-Balken:	$B = \frac{\pi}{4} R^4$	Rohr:	$B = \frac{\pi}{4} (R_1^4 - R_2^4)$
Schubmodul	$G = \frac{\tau}{\alpha} \text{ mit } \vec{t} = \frac{F}{A}; \tau \dots \text{Scherspannung}$	Richt-moment	$D = -\frac{\pi GR^4}{2L} \varphi = -D_r \varphi$		$\frac{2G}{3K} = \frac{1-2\mu}{1+\mu}$		
Kompressionsmodul	$F = -KA \frac{\Delta V}{V} \Leftrightarrow \Delta p = -K \frac{\Delta V}{V} \Leftrightarrow K = -V \frac{\Delta p}{\Delta V} = -V \frac{dp}{dV}$	Kompressibilität:	$\kappa = \frac{1}{K}$	Poisson-zahl:	$\mu = \frac{\Delta d/d}{\Delta t/t}; \frac{\Delta V}{V_0} = \epsilon(1-2\mu)$		

Flüssigkeiten und Gase

Gasgleichung ideales Gas	$pV = Nk_B T = nRT$	$R = N_A k_B$	Hydrost Druck	$p(z) = \rho g(H-z)$	Barom. Höhenf.	$p(h) = p_0 e^{-\frac{\rho_0 gh}{p_0}}$	Auftrieb	$\vec{F}_A = -\vec{F}_{Gfl}; \text{ Eisberg: } \rho_{Eis} V_{Eis} g = \rho_W V_{Eis}^W g$
Statischer Druck:	$p = \frac{F_1}{A_1} = \frac{F_2}{A_2}; [Pa] = \left[\frac{N}{m^2} \right] = \left[\frac{kg}{ms^2} \right]$	Gesetz v. Hagen-Poiseuille: Strömung in Rohren					$I \equiv \frac{dV}{dt} = \frac{\pi r^4}{8\eta l} (p_1 - p_2); \left[\frac{m^3}{s} \right]$	
Euler Gleichg ideale Flüss.	$\frac{d\vec{u}}{dt} = \frac{\partial \vec{u}}{\partial t} + \frac{\partial \vec{u}}{\partial x} dx + \frac{\partial \vec{u}}{\partial y} dy + \frac{\partial \vec{u}}{\partial z} dz = \frac{\partial \vec{u}}{\partial t} + \frac{\partial \vec{u}}{\partial x} u_x + \frac{\partial \vec{u}}{\partial y} u_y + \frac{\partial \vec{u}}{\partial z} u_z = \frac{\partial \vec{u}}{\partial t} + \begin{pmatrix} \frac{\partial u_x}{\partial x} & \frac{\partial u_x}{\partial y} & \frac{\partial u_x}{\partial z} \\ \frac{\partial u_y}{\partial x} & \frac{\partial u_y}{\partial y} & \frac{\partial u_y}{\partial z} \\ \frac{\partial u_z}{\partial x} & \frac{\partial u_z}{\partial y} & \frac{\partial u_z}{\partial z} \end{pmatrix} \cdot \vec{u} \Rightarrow \frac{d\vec{u}}{dt} = \frac{\partial \vec{u}}{\partial t} + (\vec{u} \cdot \vec{\nabla}^T) \cdot \vec{u} \dots (1)$ $\vec{F} = \vec{F}_G + \vec{F}_p = m\vec{a} = \rho \Delta V \frac{d\vec{u}}{dt} \Rightarrow \frac{d\vec{u}}{dt} = \frac{\vec{F}_G + \vec{F}_p}{\rho \Delta V} = \frac{\rho \Delta V \vec{g} - \nabla p \cdot \Delta V}{\rho \Delta V} = \vec{g} - \frac{\nabla p}{\rho} \dots (2) \Rightarrow \frac{d\vec{u}}{dt} = \frac{\partial \vec{u}}{\partial t} + (\vec{u} \cdot \vec{\nabla}) \cdot \vec{u} = \vec{g} - \frac{\vec{\nabla} p}{\rho}$							
Navier-Stokes	$\rho \left(\frac{\partial \vec{u}}{\partial t} + (\vec{u} \cdot \vec{\nabla}) \cdot \vec{u} \right) = \rho \vec{g} - \nabla p + \eta \nabla^2 \vec{u}$	Visko-sitat:	$[\eta] = \frac{kg}{sm} = Pa \cdot s \text{ mit } F_r = -\eta A \left \frac{du}{dy} \right $	Reynolds-zahl	$Re = \frac{2E_{kin}}{W_{reibung}}$			
Stromdichte (Flussdichte)	$j = \rho \cdot \vec{u} = \frac{dm}{dv} \frac{dx}{dt} = \frac{dm/dt}{A}$	Massenstrom-starke:	$I = jA = \frac{dm}{dt} = \rho \vec{u} A = - \int_A \rho \vec{u} \cdot dA$					
Kontinuitatsgleichung:	$-\frac{\partial M}{\partial t} = \int_A \rho \vec{u} \cdot d\vec{A} \stackrel{\text{Gauß}}{\cong} \int_V \vec{\nabla} \cdot (\rho \vec{u}) \cdot dV; -\frac{\partial M}{\partial t} = -\frac{\partial}{\partial t} \int_V \rho \cdot dV = -\int_V \frac{\partial \rho}{\partial t} \cdot dV \Rightarrow \frac{\partial \rho}{\partial t} + \vec{\nabla} \cdot (\rho \vec{u}) = 0$	Inkom press.	$\vec{\nabla} \cdot \vec{u} = 0$					
Dyn. Druck (Bernoulli):	$E = E_{pot} + E_{kin} = pV + \frac{1}{2} \rho V u^2 = const. \rightarrow p + p_s = p + \frac{1}{2} \rho u^2 = const.; p_s \dots \text{Staudruck}$						$u_1 A_1 = u_2 A_2$	
Stokesches Gesetz	$F_R = -6\pi\eta R \cdot \vec{u}$	$F_G + F_A = F_R \Rightarrow \left(\frac{3}{4} \pi R^3 \right) (\rho_K - \rho_{FL}) g = 6\pi\eta R u_{end} \Rightarrow u_{end} = \frac{2R^2(\rho_K - \rho_{FL}) g}{9\eta}$						

Betrachtung auf Teilchenebene

Maxwellsche Geschw. Verteilung	$f(v) = \left(\frac{m}{2\pi k_B T} \right)^{\frac{3}{2}} \cdot 4\pi v^2 e^{-\frac{mv^2}{2k_B T}}$	Wahrsch. Geschw.	$u_w = \arg(\max(f(v))) = \sqrt{\frac{2k_B T}{m}}$					
Mittlere Geschw.:	$\bar{v} = \int_0^\infty v f(v) dv = \sqrt{\frac{8k_B T}{\pi m}} = \frac{2}{\sqrt{\pi}} u_w$	Mittleres Geschw. quadrat	$v_{rms} = \sqrt{\bar{v}^2} = \sqrt{\int_0^\infty v^2 f(v) dv} = \sqrt{\frac{3k_B T}{m}}$	Mittlere kinetische Energie	$\bar{E}_{kin} = \frac{f}{2} k_B T = \frac{m}{2} \bar{v}^2$			
Kalorische Zustandsgl.	$E_{kin} = \frac{1}{2} k_b T \text{ (pro Freiheitsgrad); } E_{kin} = \frac{f}{2} k_b T \text{ (pro Teilchen)} \rightarrow \bar{U} = \frac{f}{2} N k_B T = \frac{f}{2} nRT \text{ (für } N \text{ Teilchen od. } n \text{ Mol)}$							
Freiheitsgr. Fluide	$f = f_{trans} + f_{rot} + 2f_{vib}$	$f_{trans} = 3; f_{rot} = \begin{cases} 2 & \text{(lineares Molekul)} \\ 3 & \text{(nicht lin. Molekul)} \end{cases}; f_{vib} = \begin{cases} 3n-5 & \text{(lineares Molekul)} \\ 3n-6 & \text{(nicht lin. Molekul)} \end{cases}$						
Freiheitsgr. Festkoerper	$f = 2f_{vib} = 2(3n-6)$							
Mittlere Stozeit	$\tau \cong \frac{1}{\sqrt{2} n \sigma v_{rms}}; n = \frac{N}{V}; \sigma = \pi(r_1 + r_2)^2 = \pi d^2$	Mittlere freie Weglange	$\Lambda \cong \frac{1}{\sqrt{2} n \sigma}$					



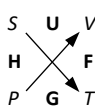
Reale Gase (Van-der-Waals-Gleichung)								
$(p + \frac{n^2 a}{V^2})(V_m - nb) = nRT$	$a \dots \text{Stoffkonstante}$	Krit. Temp.:	$T_k = \frac{8a}{27Rb}$	Krit. Druck:	$p_k = \frac{a}{27b^2}$	Krit. Vol.:	$V_k = \frac{3b}{RT_k}$	Oberh. der kritischen Temp. kann Gas nicht verflüssigt werden.
Kalorische Zustandsgleichung:	$U = E_{kin} + E_{pot} = \frac{f}{2} RT - \frac{a}{V}$	Molare Schmelzw.	$A_{schm} = T \frac{dp}{dT} (V_{fl} - V_{fest})$	Boyle Temp.	$T_b = \frac{a}{bR}$	Bei T_b verh. sich Gas annähernd ideal		

²⁾ Abb. aus: Wolfgang Demtroder (2015): Experimentalphysik 1. Mechanik und Warme. 7. Auflage. Springer, S. 215, mit Erganzen durch den Autor.

Diffusion in Gasen und Wärmeleitung

Erstes Ficksches Gesetz (Diffusion in x-Richtung)	$j_x \equiv \frac{dN}{dA dt} \hat{e}_A = -D \frac{dn}{dx}; D = \frac{\Lambda \bar{v}}{3} = \frac{1}{n\sigma} \sqrt{\frac{8kT}{9\pi m}}$	allgemein: $\vec{j} = -D \operatorname{grad} n$	2. Ficksches Gesetz (Diffusionsgleichung)	$\frac{\partial n(x,t)}{\partial t} = D \frac{\partial^2 n(x,t)}{\partial x^2}$
j... Teilchenstromdichte $\left[\frac{1}{m^2 s}\right]$; N... Teilchenzahl; n... Teilchenkonz. $\left[\frac{1}{m^3}\right]$; D... Diff.konstante $\left[\frac{m^2}{s}\right]$; Λ ... mittl. freie Weglänge; σ ... Stoßquerschnitt				
Wärme- strom:	$I = \frac{dQ}{dt} = -\lambda A \frac{dT}{dx}; \left[\frac{J}{s}\right]$	Wärmelei- t-fähigkeit $[\lambda] = \left[\frac{W}{Km}\right]$	k- Wert $k = \frac{\lambda}{d}; \left[\frac{W}{Km^2}\right]$	Wärmeüber- gangszahl $\kappa \triangleq k; [\kappa] = \left[\frac{W}{Km^2}\right]$
Wärmewi- derst. / m^2	$\frac{1}{k_{ges}} = \sum \frac{1}{k_i} + \sum \frac{1}{\kappa_i}$	$\frac{\Delta T_i}{\Delta T_{ges}} = \frac{1/k_i}{1/k_{ges}} = \frac{k_{ges}}{k_i}$	Wärme- stromdichte $q = k\Delta T; \left[\frac{W}{m^2}\right]$	

Thermodynamik

1. HS	Jedes System besitzt eine innere Energie U (extensive Zustandsgröße). Diese kann sich nur über den Transport von mechanischer Arbeit W und Wärme Q über die Systemgrenzen ändern.				
Fundamen- talgleich- ung 1.HS	$dU = d'Q + d'W$ $dU = d'Q - p dV$ $dU = TdS - p dV$	d': Kein tota- les Differential (z.B. bei konstantem Druck)	$dU \dots$ Zunahme inn. Energie $d'Q \dots$ Zugeführte Wärme $d'W \dots$ Zugeführte Arbeit	$U \dots$ Zustandsgröße $Q \dots$ keine Zustandsgröße $W \dots$ keine Zustandsgröße	Zugeführte Wärme \Rightarrow Erhöhung Enthalpie $H=U+pV$
Isochor $V=\text{const.}$	$d'W = 0 \Rightarrow$ $(dU)_V = d'Q = nc_v dT$	$c_v = \left(\frac{\partial U}{\partial T}\right)_V = \frac{f}{2} N k_B = \frac{f}{2} R \dots$ spez. Molwärme V	$\frac{p_2}{p_1} = \frac{T_2}{T_1}$	Zugeführte Wärme \Rightarrow Erhöhung von $U \approx Q \propto T$	
isobar $p=\text{const.}$	$(dH)_p = d'Q = dU - d'W = nc_v dT + p dV = nc_v dT + nR dT$	$c_p = \left(\frac{\Delta Q}{\Delta T}\right)_p = c_v + R = \frac{f}{2} R + R$	$\frac{V_2}{V_1} = \frac{T_2}{T_1}$ $\Delta W = \int_{V_1}^{V_2} p dV = p(V_2 - V_1) = nR(T_2 - T_1)$	Zugeführte Wärme \Rightarrow Erhöhung der Enthalpie $H=U+pV$	
isotherm $T=\text{const.}$	$dU = 0$ (bei i.G. $dU \propto dT$) $d'Q = -d'W$	$\Delta W = N k_B T \ln \frac{V_1}{V_2} = N k_B T \ln \frac{p_2}{p_1}$	$p_1 V_1 = p_2 V_2$	Zugeführte Wärme \Rightarrow Arbeit	
adiabat. $d'Q=0$	$d'Q = 0$ $dU = d'W$	$TV^{\kappa-1} = \text{const.}$ $pV^\kappa = \text{const.}$	$\kappa = \frac{c_p}{c_v} = \frac{f+2}{f}$	$\Delta W_{ad} = \frac{N k_B}{\kappa-1} (T_2 - T_1)$ $\frac{T_1}{T_0} = \left(\frac{V_0}{V_1}\right)^{\kappa-1} = \left(\frac{p_1}{p_0}\right)^{\frac{1}{\kappa}}$	
polytrop	$pV^n = \text{const.}; n = 0 \dots \text{isobar}; n = 1 \dots \text{isotherm}; n \rightarrow \infty \dots \text{isochor}; n = \kappa \dots \text{adiabat}$			$\Delta Q = mc_v \frac{n-\kappa}{n-1} (T_2 - T_1)$	
2. HS	$\eta = \frac{ \Delta W }{Q_{\text{zugef}}} = 1 - \frac{T_k}{T_w} < 1$	Energie = Exergie + Anergie $\Delta Q_w = -\Delta W - \Delta Q_k$	Carnot-Prop.: $\frac{\Delta Q_w}{T_w} + \frac{\Delta Q_k}{T_k} = 0$	Clausius: $\oint \frac{d'Q}{T} = 0$	
3. HS	Entropie: Extensives Maß für Energie, die nicht für Arbeit verfügbar ist; für die Unordnung und die Multiplizität eines Systems.				
Entropie	$dS = \frac{d'Q_{\text{rev}}}{T}$; $\oint dS = 0$	$\Delta S = k_B \ln \frac{w_e}{w_a} \geq 0; S = k_B \ln W$	$W \dots$ Anzahl mögl. Zustände; $S \dots$ Zustandsgröße		
Fundamentalgl. („FG“)		Enthalpie H	Helmholtz'sche freie Energie F	Freie Enthalpie („Gibbs'sche freie Energie“) G	
Innere Energie = zugef. Wärme + zugef. Arbeit	$H \equiv U + pV$ $\xrightarrow{\text{abl,FG einsetz.}}$ $dH = T dS + p dV + V dp$	$F \equiv U - TS$ $\xrightarrow{\text{abl,FG einsetz.}}$ $dF = -S dT - p dV$	$G \equiv H - TS$ $G \equiv U + pV - TS$ $\xrightarrow{\text{abl,FG einsetz.}}$ $dG = -S dT + V dp$		
$dU = d'Q + d'W$ $dU = TdS - p dV$	dp=0: Energ., um U um dU zu erh., wenn ein Teil der Energ. für p dV verw. wird.	Extensives thermod. Potential: $dF \leq 0$	Extensives thermod. Potential: $dF \leq 0$		

Schwingungen

Freie ungedämpfte Oszillatoren		Mathematisches Pendel	Physikalisches Pendel	Torsionspendel
Feder- pendel	$ma = -Dx$ $\ddot{x} + \omega_0^2 x = 0$	$\omega_0 = \sqrt{\frac{D}{m}} = \sqrt{\frac{g}{x_{\text{ruhe}}}}$	$ma = -mg \sin \varphi$ $\ddot{\varphi} + \omega_0^2 \varphi = 0$	$\omega_0 = \sqrt{\frac{g}{l}}$ $I\ddot{\varphi} = -mgd \sin \varphi$ $\ddot{\varphi} + \omega_0^2 \varphi = 0$
Freie gedämpfte Oszillatoren		Schwache Dämpfung: $\gamma < \omega_0 \Leftrightarrow \lambda_{1,2} = -\gamma \pm i\omega$		Log. Dekrement
Stokesch e Reibung	$ma = -bv - Dx$ $\ddot{x} + 2\gamma\dot{x} + \omega_0^2 x = 0$	$\omega_0 = \sqrt{\frac{D}{m}}; \gamma = \frac{b}{2m}$	$x(t) = e^{-\gamma t}(c_1 \cos \omega t + c_2 \sin \omega t) = e^{-\gamma t} A \cos(\omega t + \varphi);$ $A = \sqrt{c_1^2 + c_2^2}; \varphi = -\arctan \frac{c_2}{c_1}; \omega = \sqrt{\omega_0^2 - \gamma^2}$	$\delta = \gamma T = \ln \frac{x(t)}{x(t+\tau)}$ nach $\tau = \frac{1}{\delta}$ ist $A = A_0 \frac{1}{e^{\delta \tau}}$
Starke Dämpfung $\gamma > \omega_0$; $\lambda_{1,2} = -\gamma \pm \sqrt{\gamma^2 - \omega_0^2}$		Aperiodischer Grenzfall: $\gamma = \omega_0$; $\lambda_1 = \lambda_2 = \lambda$		
$x(t) = e^{-\gamma t}(c_1 e^{\alpha t} + c_2 e^{-\alpha t}); \alpha = \sqrt{\gamma^2 - \omega_0^2}$		$x(t) = e^{-\gamma t}(c_1 + c_2 t)$		
Erzwungene Schwingung		$ma = -bv - Dx + F_o \cos \omega t$	Phasenverschiebung	Amplitude
$ma = -bv - Dx + F_o \cos \omega t$ $\ddot{x} + 2\gamma\dot{x} + \omega_0^2 x = K \cos \omega t;$		$x(t) = A_1 e^{-\gamma t} \cos(\omega_1 t + \varphi) + A_2 \cos(\omega t + \varphi)$ $K = F_o/m; \omega_1 = \sqrt{\omega_0^2 - \gamma^2}; \omega_R = \sqrt{\omega_0^2 - 2\gamma^2}$	$\varphi = \arctan \left(-\frac{2\gamma\omega}{\omega_0^2 - \omega^2} \right)$	$A_2(\omega) = \frac{F_o/m}{\sqrt{(\omega_0^2 - \omega^2)^2 + (2\gamma\omega)^2}}$

Wellen

Ebene Welle in z-Richtung:	$\frac{\partial^2 \xi}{\partial z^2} = \frac{1}{v_{ph}^2} \frac{\partial^2 \xi}{\partial t^2}$	Allg Lsg: $\xi(z, t) = f(t - \frac{z}{v}) + g(t + \frac{z}{v})$	Longitudinal in festem Körper:	$v_{ph}^2 = \frac{E}{\rho}$	Transversal in Festkörper:	$v_{ph}^2 = \frac{G_m}{\rho}$
Harm. Welle in z-Richtung:	$\xi(z, t) = A \sin(\omega(t - \frac{z}{v})) = A \sin(\omega t - \frac{\omega z}{v}) = A \sin(\omega t - \frac{2\pi f z}{v}) = A \sin(\omega t - \frac{2\pi k z}{\lambda}) = [A \sin(\omega t - kz); k = \frac{2\pi}{\lambda}]$ (Wellenzahl)					
Gassäule (nur longitudinal!)	$v_{ph}^2 = \frac{K_m}{\rho} = \frac{\kappa p}{\rho}; \quad K_m \dots \text{Komp. modul}$ $\kappa \dots \frac{c_p}{c_v} \text{ Adiabat. Idx.}$	Transversal, gesp. Saite:	$v_{ph}^2 = \frac{F}{\mu} = \frac{\sigma}{\rho}; \quad \mu = \frac{m}{l}$	$\frac{p}{\rho} = \frac{pV}{nM} = \frac{nkT}{nm} = \frac{kT}{m} \Rightarrow v_{rms} = v_{ph}\sqrt{3}$		
Dispersion: $v_{ph} = f(\lambda)$	$v_{ph} = \frac{\omega}{k}; k = \frac{2\pi}{\lambda}$	Gruppen- geschw.: $v_G = \frac{d\omega}{dk} = v_{ph} - \lambda \frac{dv_{ph}}{d\lambda}$				
Stehende Welle	Freies Ende: $\xi(z, t) = 2A \cos(k_n z) \cos(\omega t)$ Festes Ende: $\xi(z, t) = 2A \sin(k_n z) \sin(\omega t)$	$k_n = \frac{2\pi}{\lambda}$	2x offen V 2x fest: $\lambda_n = \frac{2l}{n}; f_n = n \frac{v}{2l}; n \in \mathbb{N}_+$ 1x offen \wedge 1x fest: $\lambda_n = \frac{4l}{2n-1}; f_n = (2n-1) \frac{v}{4l}; n \in \mathbb{N}_+$			
Doppler:	Beob. zur Quelle Sender zum Beob.	$f = f_0 \frac{1+v_b/c}{1-v_s/c}$	Beob. von Quelle weg Sender von Beob. weg	$f = f_0 \frac{1-v_b/c}{1+v_s/c}$	Reflektor bewegt sich zum Beob.	$f = f_0 \frac{c+v}{c-v}$ vom Beob. weg : $f = f_0 \frac{c-v}{c+v}$

Sonstiges

Kepler:	$\frac{T_1^2}{T_2^2} = \frac{a_1^3}{a_2^3}; \quad \frac{T^2}{a^3} = \frac{4\pi^2}{GM}$	Reibung:	$F_R = \mu F_N$	Wärmeausdehnung:	$\frac{\Delta L}{L_0} = \alpha \Delta T; [\alpha] = \left[\frac{1}{K} \right]$	$V = V_0(1 + \alpha \Delta T)^3$ $V \approx V_0(1 + \gamma \Delta T)$ $\gamma = 3\alpha$	
	$ \vec{a} \times \vec{b} = \vec{a} \cdot \vec{b} \cdot \sin \alpha$ (0 wenn)		$ \vec{a} \cdot \vec{b} = \vec{a} \cdot \vec{b} \cdot \cos \alpha$ (0 wenn \perp)	$\vec{a} \times (\vec{b} \times \vec{c}) = \vec{b}(\vec{a} \cdot \vec{c}) - \vec{c}(\vec{a} \cdot \vec{b})$	$(\vec{a} \times \vec{b})^2 = a^2 b^2 - (\vec{a} \cdot \vec{b})^2$		